

ҚАЗАҚСТАН РЕСПУБЛИКАСЫ БІЛІМ ЖӘНЕ ҒЫЛЫМ МИНИСТРЛІГІ

Қ.И. Сәтбаев атындағы Қазақ ұлттық техникалық зерттеу университеті

Энергетика және машина жасау институты

Энергетика кафедрасы

Болатбек Батыр

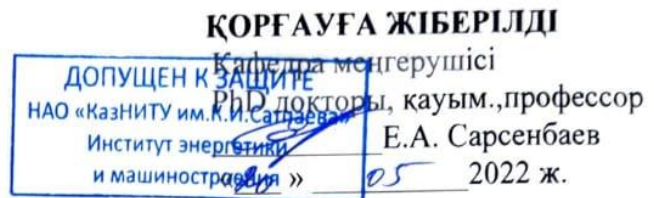
ДИПЛОМДЫҚ ЖҰМЫС

Тақырыбы: «Горизонталь өсті жел қондырғысын талдау»

5B071700 - «Жылу энергетикасы»

Алматы 2022

ҚАЗАҚСТАН РЕСПУБЛИКАСЫ БІЛІМ ЖӘНЕ ҒЫЛЫМ МИНИСТРЛІГІ
Қ.И. Сәтбаев атындағы Қазақ ұлттық техникалық зерттеу университеті
Энергетика және машина жасау институты
Энергетика кафедрасы



ДИПЛОМДЫҚ ЖҰМЫС

Тақырыбы «Горизонталь өсті жел қондырғысын талдау»

5B071700-«Жылу энергетикасы»

Орындаған

Пікір беруші

Т.Ф.Д., профессор


Ж.Ж.Калиев
(қолы)

«18 » 05 2022 ж.

Б.Б. Болатбек

Ғылыми жетекші

РНД докторы, қауым., профессор


К.Б.Шакенов
(қолы)

«18 » 05 2022 ж.

ЗАДПІСЬ ЗАВЕРЯЮ





Алматы 2022

ҚАЗАҚСТАН РЕСПУБЛИКАСЫ БІЛІМ ЖӘНЕ ГЫЛЫМ МИНИСТРЛІГІ
Қ.И. Сәтбаев атындағы Қазақ ұлттық техникалық зерттеу университеті
Энергетика және машина жасау институты
Энергетика кафедрасы
5B071700 – Жылу энергетикасы

БЕКІТЕМІН

Кафедра менгерушісі
PhD докторы, қауым., профессор
 Е.А. Сарсенбаев
«27» 01 2022 ж.

**Дипломдық жұмыс орындауға
ТАПСЫРМА**

Білім алушы Болатбек Батыр

Тақырыбы «Горизонталь өсті жел қондыргысын талдау»

Университет ректорының 2021 ж. «24» желтоқсанындағы № 489-ПӨ бұйрығымен бекітілген

Аяқталған жұмысты тапсыру мерзімі «12» мамыр 2022 ж.

Дипломдық жұмыстың бастапқы берілістері:

Казақстан облыстары бойынша жел әлеуетін талдау (БҰҰДБ Қазақстан жобасынан алынған деректер).

Дипломдық жұмыста қарастырылатын мәселелер тізімі:

a) Горизонталь өсті типтегі төмен қуатты ЖЭК математикалық моделі құрылды;

ә) Математикалық модельді әзірлеу және жел қондыргысының қалақшаларының геометриялық өлимелдерін есептейу;

б) Қазіргі заманғы ЖЭК шу деңгейінің жер деңгейіндегі мұнара негізінен қашықтыққа тәуелділігі есептелді;

в) NORDTANK және MICON жел қондыргысының шыыл сипаттамалары түргышылды;

г) Мұнара негізіндегі дыбыстық қуат деңгейінің әртурлі фирмалардың жел электр станциясының қуатына тәуелділігі.

Сызбалық материалдар тізімі: Сызбалық материалдар слайдпен көрсетілген
Ұсынылатын негізгі әдебиеттер 15 атап

Дипломдық жұмысты дайындау
КЕСТЕСІ

Бөлімдер атауы, қарастырылатын мәселелер тізімі	Ғылыми жетекші мен кеңесшілерге корсету мерзімдері	Ескерту
Казакстан облыстары бойынша жел әлеуетін талдау (БҰҰДБ Қазақстан жобасынан алғынган деректер).		
Горизонталь өсті типтегі төмен куатты ЖЭҚ математикалық моделі құрылды		
Математикалық модельді әзірлеу және жел қондыргысының қалакшаларының геометриялық өлшемдерін есептеу		

Дипломдық жұмыс бөлімдерінің кеңесшілері мен
норма бақылаушының аяқталған жұмысқа қойған
қолтаңбалары

Бөлімдер атауы	Кеңесшілер, аты, экесінің аты, тегі (ғылыми дәрежесі, атағы)	Қол қойылған күні	Қолы
Әлемдегі жел энергетикасының даму жағдайы	Қ.Б.Шакенов PhD докторы, қауым.,профессор	18.05.2022	
Шаруа кожалығын дербес энергиямен қамтамасыз ету жүйесін әзірлеу	Қ.Б.Шакенов PhD докторы, қауым.,профессор	18.05.2022	
Математикалық модельді әзірлеу және жел қондыргысының қалакшаларының геометриялық өлшемдерін есептеу	Қ.Б.Шакенов PhD докторы, қауым.,профессор	18.05.2022	
Норма бақылау	БердібековӘ.О. сениор-лектор	19.05.2022	

Ғылыми жетекші



Қ.Б.Шакенов

Тапсырманы орындауга алған білім алушы

Болатбек Б.Б.

АНДАТПА

Кіріспеде тақырыптың өзектілігі негізделген, дипломдық жобаны жазу мақсаты қойылған, зерттеу объектілері мен пәні, міндеттері анықталған. Бірінші тарауда әлемдегі және атап айтқанда Қазақстандағы жел энергетикасының дамуының жалпы жағдайы зерттелген. Екінші тарауда автономды энергиямен қамтамасыз ету жүйесі өзірленуде. Үшінші тарауда ЖЭҚ математикалық моделі жасалады және MATLAB аясында модельдеу моделі зерттеледі, және жел электр станцияларын орналастыру мәселелері туралы айтылады. Қорытындыда ЖЭҚ пайдалану тиімділігі бойынша негізгі тұжырымдар мен ұсыныстар қамтылады.

АННОТАЦИЯ

Введение строится исходя из актуальности темы, цели написания дипломного проекта, объектов и предмета исследования, задач. В первой главе рассматривается общее состояние развития ветроэнергетики в мире и в Казахстане в частности. Во второй главе разрабатывается автономная система электроснабжения. В третьей главе разрабатывается математическая модель возобновляемой энергетики и изучается модель моделирования в рамках MATLAB, а также обсуждаются вопросы размещения ветряных электростанций. Заключение содержит основные выводы и рекомендации по эффективности использования возобновляемых источников энергии.

ANNOTATION

The introduction is based on the relevance of the topic, the purpose of writing a diploma project, the objects and subject of research, tasks are identified. The first chapter examines the general state of development of wind energy in the world and in Kazakhstan in particular. In the second chapter, an autonomous power supply system is being developed. The third chapter develops a mathematical model of renewable energy and studies the modeling model in the framework of MATLAB, and discusses the issues of location of wind power plants. The conclusion contains the main conclusions and recommendations on the efficiency of renewable energy use.

МАЗМҰНЫ

	Kіріспе	7
1	Әлемдегі жел энергетикасының даму жағдайы	8
1.1	Электр энергиясын өндіру үшін желді қолдану	8
1.2	Жел энергетикасы қондырғысының жұмыс істеу сипаттамасы мен қолданыстағы түрлері	8
1.2.1	Горизонталь айналу өсі бар құрылғылар	8
1.3	Энергияны сақтау жүйелерінің сипаттамасы	10
1.4	Қазақстан Республикасының жел әлеуеті	11
1.4.1	Қазақстанның жел атласы. Тарау бойынша қорытынды	12
2	Шаруа қожалығын дербес энергиямен қамтамасыз ету жүйесін әзірлеу	14
2.1	Шаруа қожалығының жүктемесін есептеу	14
2.2	Горизонталь өсті типтегі төмен қуатты ЖЭҚ математикалық моделі	14
2.3	MATLAB аясында ЖЭҚ имитациялық моделін зерттеу R2014b	17
3	Математикалық модельді әзірлеу және жел қондырғысының қалақшаларының геометриялық өлшемдерін есептеу	28
3.1	Жел энергетикалық қондырғыларды орналастыру	35
3.2	Елді мекенедерде жел энергетикасы қондырғыларын желіде орналастыру мәселелелері және оларды шешудің ықтимал жолдары	38
3.2.1	ЖЭҚ шу мәселесін шешудің мүмкін жолдары	
3.2.2	Жел қондырғыларында инфрадыбыстың пайда болу проблемасын шешу жолдары	43
3.2.3	Ультрадыбыс	45
	Қорытынды	48
	Пайдаланылған әдебиеттер тізімі	49

КІРІСПЕ

Бұл дипломдық жұмыста шаруа қожалықтарында дербес жаңартылатын энергия көздерін пайдалану. Бұл тақырыптың маңыздылығы қазіргі заманғы жағдайлар бойынша электр энергиясын Қазақстан Республикасының аумағында жекелеген өнірлер, ірі қалалар мен кенттер, соңғы он жылда тұрақты көзге, электр энергиясына көзге қол жеткізілгені байқалады. Бірақ, соған қарамастан, ірі қалалардан алғыс ауылдар мен елді мекендерде көбінесе тұрақты электр көзі болмайды, кейде электр қуатының толық болмауы да байқалады. Бұл, ең алдымен, ел аумағының қеңдігімен және барлық аумақтағы ауыл тұрғындардың шашыраңқы орналасуы себеп болады. Бұл елді мекендерге өнеркәсіптік электр беру желілерін өткізу қаржылық шығындар және өтелу тұрғысынан әрдайым ақталмайды. Бұл мәселенің шешімдерінің бірі әрі қарай дамуы мүмкін шағын автономды энергия қондырғыларын пайдалануды кеңейту және жаңартылатын энергия көздері көбейту (күн, жел, биогаз және т.б.)). Осы әдістер өсіресе қожалықтарға қатысты. Ел аумағында шаруашылықтарына, көбінесе шалғай дала аймақтарына шаруашылық қажетіне қарай қызметтің және қалыптасқан жағдай мен электр энергиясының өнеркәсіптік көздерін жеткізу. Бұл дипломдық жобада негізінде энергия көздерін ретінде пайдалану, осы мәселелердің шешу мүмкіндіктері қарастырылады. Жел энергетикалық қондырғыларын және ең бастысы, қажетті қазіргі уақытта нарықта бар негізгі элементтерді пайдалану. Егер қожалықтар үшін басқа энергия көздерін әртүрлі тәсілдермен салыстырсақ қазіргі уақыттағы параметрлерді атап өтуге болады: жел қондырғылары күн қондырғыларымен салыстырғанда артықшылыққа ие панельдер. Бұл кішігірім ауданы бар екенін білдіреді, олар көп энергия шығара алады. Сондай-ақ, күн панельдері түнде электр қуатын шығармайды, өйткені күн тек күндіз жарқырайды, ал жел күндіз де, түнде де соғуы мүмкін. Бірақ жел электр станцияларының кемшіліктері де бар, мысалы, әр түрлі кезеңдердегі желдің біркелкі емес әрекетінде (күн, ай, жыл), тыныштық жағдайлары жиі кездеседі. Бұл мәселені шешу үшін жобада қарастырылған шара келесілерден тұруы мүмкін құрама: артық батареяларды сақтайтын электр энергиясын батареяларын пайдалану, төмен қуатты дизель генераторларын пайдалану және т. Б

Батарея сыйымдылығы шектеулі және қажет резервтік қуат көзін пайдалану.

Осы дипломдық жобада, дизель генераторын қолдану резервтік қуат көзі ретінде ұсынылады. Осы мақсаттар үшін күн панельдерін пайдалану тиімсіз, өйткені олар бұл үшін өте қымбат, және жеткілікті қажетті қуатты өндіру үшін, шаруа қожалығының қажеттіліктерін өтеу үшін энергия панельдердің едәуір бөлігін қажет етеді, бұл қожалық үшін айтарлықтай жобаның құнын арттырады.

1 Әлемдегі жел энергетикасының даму жағдайы

1.1 Электр энергиясын өндіру үшін желді қолдану

Шалғай шаруашылықтарды энергиямен жабдықтау мәселесі тек Қазақстандаған емес, бүкіл әлем бойынша бар. Сондықтан жаңартылатын энергия көздерін қолдану салалары бойынша біздің көптеген елдерде планеталар, әртүрлі даму топтары белсенді түрде зерттеу жүргізеді. Ғылыми-зерттеу деректер қызметі тек экономиканы қамтамасыз ету ниетімен ғана емес шаруашылықтардағы автономды энергия көзін, сондай-ақ қысқартуға адамның қазбалы отынға тәуелділігі азайтуға ұмтылу болып табылады. Бәріне белгілі нәрсе қазба энергия көздерінің қорлары шектеулі және атмосфераға белгілі бір зиянды мөлшері шығарылады.

Адамды энергиямен қамтамасыз етудегі жел энергиясының өсіп келе жатқан рөлі. Дипломдық жұмыста аз қуатты автономды қуаттылығы 20 кВт-тан аспайтын электр станциясы қозғалады. Жел электр станциялары мен құрауыштардың элементтік базасын энергия қондырғылары жүзеге асыру үшін осы міндеттер жұмыс принципін егжей-тегжейлі қарастыруын қажет етеді. Мұндай қондырғылардың сипаттамасын қарастырамыз.

1.2 Жел энергетикасы қондырғысының жұмыс істеу сипаттамасы мен қолданыстағы түрлері

Жел қондырғысы келесідей жұмыс істейді: жел әсерінен жел тартқышы айнала бастайды, бұл өз кезегінде ротор генераторының айналуы. Генератордан келетін ток түзетіледі және инвертор арқылы өтеді, тұрақты токты айнымалы токқа түрлендіретін тұтынушыға беріледі. Артық энергия заряд реттегіші арқылы батереяға беріледі. Желдің жылдамдығы жеткіліксіз болған жағдайларда, жинақталған батареяларда инвертор арқылы тұтынушыға заряд беріледі.

Көптеген типтегі жел қабылдайтын құрылғылар жасалды, олар конфигурациялар, соның арқасында жел ағынында асимметриялық күштер пайда болады, олар жылжыту немесе дірілдеу арқылы біртіндеп айнала алады. Жел ағынының бағытына қарай бағдарлау осімен айналу қатысты жел қабылдайтын құрылғылар келесідей жіктелуі мүмкін:

- жел бағытына паралель горизонталь өсті айналу (кәдімгі жел диірмендерінде қолданылады);
- жел ағыны бағытқа перпендикуляр тік айналу осімен [2];

1.2.1 Горизонталь өсті құрылғылар

Горизонталь өсті орналасқан жел айналу осін жел энергиясын түрлендіру үшін көтеру күші немесе сүйреу күшін пайдалануға болады. Қолданатын құрылғылар тікелей күш құрылғыларына қарағанда көтеру күші, бұл жақсырақ, өйткені олар бірнеше есе көп қарсылық күшін бере алады. Жел дөңгелегі жүздері басқа нөмірмен жасалуы мүмкін; қарсы салмақтары бар бір қалақшалы құрылғылардан көп жүзді құрылғыларға дейін болады (пышақтар саны 50-ге дейін немесе одан да көп). Яғни горизонталь өсі бар жел донғалақтары айналулар бекітілген бағыт түрінде орындалады, ағын бағыты перпендикуляр тік өс айналасында айнала алады. Құрылғының бұл түрі тек қана бір басым жел бағытында қолданылады.

Желдің жоғары жылдамдығы кезінде жел донғалағының айналу жиілігін шектеу үшін бірқатар әдістер қолданылады, соның ішінде қалақтарды флюгерлік жағдайға орнату, қалақтарға орнатылған немесе олармен бірге айналатын клапандарды қолдану, сондай - ақ жел донғалағының айналу жазықтығына параллель орналасқан бүйірлік жоспарды қолдана отырып, жел донғалақтарын желдің астынан шығаруға арналған құрылғы. Қалақтарды жел донғалағының білігіне тікелей бекітуге болады немесе момент оның шеңберінен екінші білік арқылы генераторға немесе басқа жұмыс машинасына берілуі мүмкін. Осы қуаты бар жел қондырғысы үшін оның құнының үлесін азайту үшін бір мұнараға Орнатылатын көп тармақты қондырғылар белгілі. Кіріс конустық құрылғылар жел донғалағына түсетін ағынның жылдамдығын арттыру және турбуленттілік дәрежесін төмендету үшін қолданылады, оның бұрыштық жылдамдығын арттыру үшін жел донғалағының жанында ағынды бұрайтын құрылғылар қолданылады. Горизонталь өсі бар қондырғыларға желдің перпендикуляр бағыты тиімсіз болды, өйткені ол бағдарлау жүйелерін және қуатты алуштың салыстырмалы түрде күрделі әдістерін қажет етеді, бұл олардың тиімділігін жоғалтуға әкеледі. Олар маңызды емес горизонталь өсі және тік айналу өсі бар жел қозғалтқыштарының басқа түрлерімен салыстырғанда артықшылықтары. Горизонталь өсі бар жел генераторлары бірнеше жұз ватттан бастап бірнеше мегаваттқа дейін әртүрлі қуаттылықта шығарылады.



1.1 -сурет - EuroWind 500w горизонталь өсі бар жел генераторы

1.1 горизонталь айналу өсі бар жел турбинасы жеке модельдердің өлшемдерін көргө болады.

Горизонталь айналу өсі бар жел турбиналары өнеркәсіптік энергия жүйелерінің бөлігі ретінде кеңінен қолданылады.

1.3 Энергияны сақтау жүйелерінің сипаттамасы

Егер ЖЭҚ құрамында тиісті жинақтағыш құрылғы болса, онда ол әдеттегі үлгідегі энергия қондырғыларының қатысуының негізгі жүктемені жабуды қамтамасыз ете отырып, тәуелсіз жұмыс істей алады. Мұндай жағдайларда кәдімгі электр қондырғыларын толығымен ауыстыру үшін жел энергиясын пайдалануға болады.

Жел энергиясын сақтау жүйелері болуы мүмкін:

- электрохимиялық (мысалы, аккумуляторлық батареялар немесе суды электролиздеу жолымен алынатын сутегін жинақтайтын жүйелер);
- термиялық (мысалы, механикалық үйкеліс кезінде алынған жылу жинақталуымен);
- кинетикалық энергияны пайдаланатын жүйелер (инерциялық аккумуляторлар немесе аса өткізгіштігі бар электромагниттік жүйелер);
- әлеуетті энергияны пайдаланатын жүйелер (мысалы, сорғы гидро жүйелері немесе сығылған ауаны жинақтау);

1.1 - кесте-Энергияны сақтау жүйелері

	Минималды экономикалық тиімділік	Күту қызмет мерзімі, жыл	Энергияны жинақтап аккумуляторлау	Тиімділік. Энергияны тұрлендіру, %
Аккум. батареялар	10	10-20	иа	70-80
Сутектік	10	30	иа	40-60
Жылулы	600	20	иа	жоғары
Инерцивті	10	30	иа	80
Электромагнитті	10 000	30	жоқ	90-95
Гидронасосты	10 000	50	жоқ	70
Пневматты	100	20	жоқ	45

Жинақтау жүйелерін шолуда олардың бағасы мына тұрғыдан беріледі ең төменгі экономикалық тиімді параметрлер, жинақтағыш құрылғылары бар ЖЭК-ке арналған жиынтық күрделі шығындар, жинақтау жүйелерінің күтілетін қызмет ету мерзімі, бытыраңқы жинақтау мүмкіндігі, ЖЭК энергиясын тұрлендіру тиімділігін бағалау (1.3-кестені қараңыз).

Топтар бойынша анықталған жалпы күрделі шығындар жинақтау жүйесінің циклінің ұзақтығы шамамен 10 сағат негізінде бағаланады, бұл жел жылдамдығының қысқа мерзімді өзгерістерін өтеу үшін бірнеше күн ішінде жинақталатын жүйе. Жел режимдерінің маусымдық өзгерістерін ескере отырып, жинақтау жүйелерінің қажетті жұмыс уақыты 6 айға дейін немесе одан да көп өсуі мүмкін. Мұндай жағдайларда жел энергиясын сақтау үшін пайдаланылған табиғи газ ұнғымаларын немесе басқа табиғи жерасты қуыс түзілімдерін пайдаланатын әртүрлі құнды сақтау жүйелері (мысалы, сутегі немесе пневматикалық) пайдалы болуы мүмкін.

Талдау нәтижесінде жобаланған жүйе үшін аккумуляторлық батареялар тандалады, олар қажет болған жағдайда жел қондырғысының белгілі бір жұмыс режимінде қайта зарядталады. Төменде ҚР ЖЭК үшін климаттық жағдайларға әдеби шолу берілген.

Горизонталь айналу есітік жел қондырғыларының тиімділігі жоғары (40 - 59%). Сондықтан бұл жел қондырғыларын тұрмыстық мақсатта да, өнеркәсіптік электр энергиясын өндіру үшін де пайдалануға болады. Өнеркәсіптік пайдалануға арналған жел қондырғылары жеткілікті үлкен қуаттылықта ие, сонымен қатар әр жел электр станциясында бірнеше жүзге дейін жел дірмендерін орнату арқылы жүздеген ессе арттыруға болады.

Горизонталь өсті жел турбиналарының белгілі бір кемшілігі ретінде жел қондырғысындағы қосымша құрылғы болып табылатын флюгерді пайдаланып желді үнемі іздеу қажеттілігін қарастыруға болады, бұл дизайнды қынданатады және оның құнын арттырады.

Горизонталь өсті жел турбиналарының жоғарыда аталған артықшылықтарын және олардың қалыптасқан өнеркәсіптік өндірісін ескере отырып, біз өнеркәсіптік цехтардың біріне баламалы қуат көзі ретінде осы нақты конструкциядағы жел генераторын орнату орынды деп қорытынды жасаймыз.

Бұл шешімді жүзеге асыру және осы жұмыс аясындағы мақсатқа жету үшін келесі міндеттерді шешу қажет:

- 1) Баламалы қуат көзі үшін нысанды таңдаңыз.
- 2) Жел турбинасының параметрлерін таңдау және есептеу.
- 3) Жел қондырғыларының техникалық-экономикалық көрсеткіштерін бағалау

Орташа алғанда, қазіргі заманғы горизонталь өсті жел турбиналарының көпшілігінде желді пайдалану коэффициенті 0,48% құрайды. Арнайы зерттеулердің мәліметтерінен бұл коэффициентті арттыруға болатыны шығады. Мысалы, мінсіз аэродинамикалық сипаттамаларымен сипатталатын жел қондырғыларының кейбір конструкциялары үшін жел энергиясын пайдалану коэффициенті 0,593 тең мәнге жетуі мүмкін [5, б. 7].

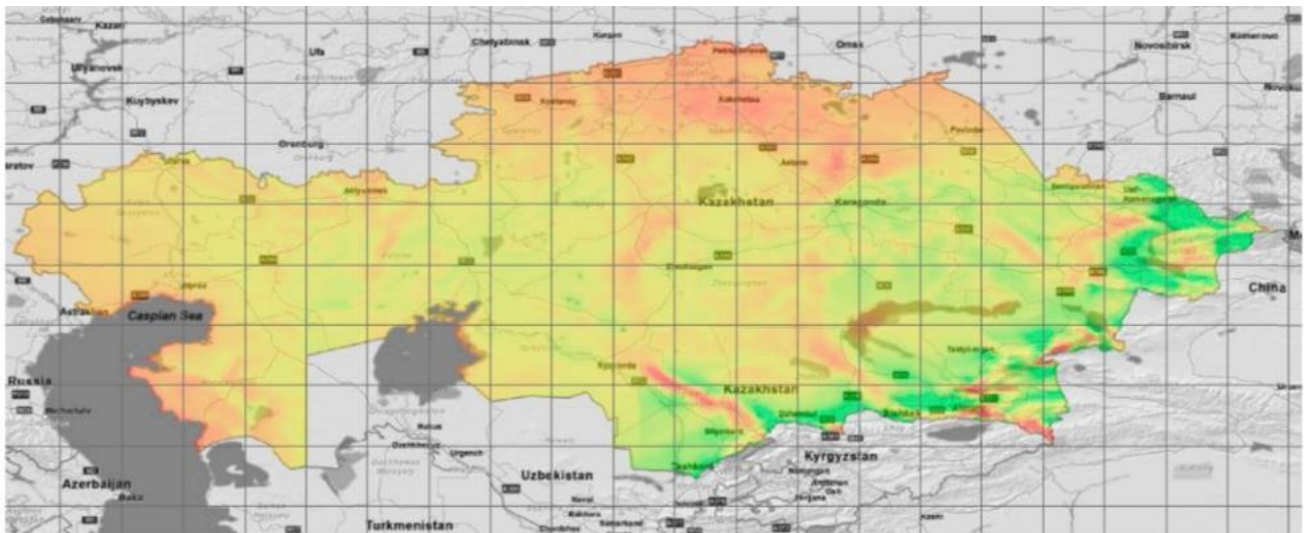
1.4 Қазақстан Республикасының жел әлеуеті

Жел энергетикалық қондырғысын жобалау жел қондырғысын орнату болжанатын жердің жел әлеуетін алдын ала зерттеуді талап етеді. Желдің сипаттамалары зерттеледі: белгілі бір уақыт кезеңіндегі желдің орташа жылдамдығы (Ай, жыл және т.б.), тыныштықтың қайталануы мен ұзақтығы, желдің әртүрлі жылдамдығының қайталануы және т.б. Алынған мәліметтер негізінде жобаланған қондырғының пайдалылығы туралы қорытынды жасалады.

1.4.1 Қазақстанның жел атласы. Тарау бойынша қорытынды

Қазақстандағы БҰҰ даму бағдарламасы жасалды Қазақстанның жел атласы [3].

Жел атласын әзірлеуді Жобаның серіктесі – Parsons Brinckendorf PB Power компаниясы жүзеге асырды. Қазақстанның жел атласы-бұл қалаларды, шаруашылық обьектілерін (жолдар, электр станциялары) көрсете отырып, жер бетінен 80 метр биіктікте желдің жылдамдығын бөлу картасы. Жел атласының басты мақсаты-елдің жел ресурстарының дерекқорын құру, алынған деректерді талдау және белгілі бір жерде жел электр станциясын салу туралы ұсыныс шығару (1.2-суретті қараңыз).



1.2 Сурет - Қазақстанның жел атласы

1.4-кестеде Қазақстанның облыстары бойынша жел потенциалдың толық сипаттамасы көлтірілген. Осы кестедегі мәліметтер алдын-ала талдауға және үеи орналастыру орнын тандауға мүмкіндік береді. Желдің орташа жылдық жылдамдығы жыл ішіндегі желдің барлық байқалған жылдамдығының орташа арифметикалық мәні ретінде анықталды, оларды аумақтың жел әлеуеті сипаттайты.

Белгілі бір аймақты зерттеу кезінде зерттелетін аумақтың географиясы мен ландшафттың ерекшеліктеріне байланысты жергілікті желдің болуын ескеру қажет. Мысалы, Теніз самалы жағалау аймағына 50-100 км – ге, ірі көлдердің самалы 10-30 км-ге терең енетіні белгілі, сондықтан Каспий самалы Қазақстанның батыс облыстарының жел өрісіне, әсіресе жылы айларда айтарлықтай әсер етеді. Басқа өнірлерде айтарлықтай таулы-алқаптық желдер байқалады. Қазақстанда күшті жергілікті желдер де байқалады, тар тау өткелдерінің болуы желдің күшеюін тудырады. Мысалы, Жоңғар қақпасының желі. Жалаңашкөл метеостанциясы желдің жекелеген жылдамдығын 70 м/с – қа дейін, қарқынды ағынның ұзақтығы жылына жүз күнге жуық және желдің жылдамдығы 15 м/с-тан асады. Бұл жел жылына 80 күнге дейін, негізінен қыста байқалады. 5 жылда бір рет желдің жылдамдығы 24 м/с – тан асуы мүмкін, ал 0-5 м/с жел жылдамдығының қайталануы шамамен 80% құрайды.

Жергілікті желдер жоғары жылдамдыққа жететін асуларда да пайда болады. Оларға Тараз бен Шымкент арасындағы Шоқпар асуы маңындағы Тұлкібас желі жатады. Жобаның маңызды кезеңдерінің бірі автономды Энергия қондырығысын қалыптастыру үшін жабдықты тандау және жинақтау болып табылады.

**1.2 - кесте - Қазақстан облыстары бойынша жел әлеуетін талдау
(БҰҰДБ Қазақстан жобасынан алынған деректер)**

Санаты		Төмен	Орташа	Жоғары	Жоғарытылған	Арттырылған
Жел жылдамдығын ың диапазоны	Ауданы (км ²)	<6 м/с	6-7 м/с	7-8 м/с	8-9 м/с	>9 м/с
Ақтөбе	300600	254400	46200	0	0	0
Атырау	118600	58100	60500	0	0	0
Батыс-Қазақстан	151300	61400	89900	0	0	0
Карағанды	428000	343100	84600	300	0	0
Павлодар	124800	37700	87100	0	0	0
Алматы	224000	197300	20000	5300	1200	200
Жамбыл	144200	106200	36800	1200	0	0
Оңтүстік-Қазақстан	117300	102400	11700	3200	0	0
Костанай	196000	81500	114500	0	0	0
Солтүстік-Қазақстан	98040	0	82800	15200	0	0
Шығыс-Қазақстан	283300	241300	40800	1200	0	0
Мангистау	165600	73200	87700	4800	0	0
Кызылорда	226000	193100	29100	3800	0	0
Ақмола	146200	45500	85200	15500	0	0

Қорытындылар: 1-тарауда әлемдегі жел энергетикасының дамуының жалпы жағдайы көрсетілген. Жел қабылдайтын құрылғылардың барлық негізгі түрлері, сондай-ақ энергияны сактаудың барлық түрлері қарастырылған. Қазақстан Республикасының жел әлеуеті зерттелді және салалар бойынша талдау жүргізді, олардың ішінен жел энергетикасын дамыту үшін ең перспективалы болып таңдауға болады.

2 Шаруа қожалығын дербес энергиямен қамтамасыз ету жүйесін әзірлеу

2.1 Шаруа қожалығының жүктемесін есептеу

Автономды электр қондырғысын жобалауды бастамас бұрын, шаруа қожалығында қандай сипаттағы жүктеме мен қуат күтілетінін алдын-ала білу керек.. Есептеу үшін желдің орташа жылдық жылдамдығы 7-9 м/с болатын Алматы облысының өнірін таңдау туралы шешім қабылданды (1.2 - кестені қараңыз).

2.1-кесте - Шаруа қожалығының жүктемесі

Аспаптың аты	Саны, дана	Куаты, Вт	Есеп айырысу кезеңіндегі жұмыс уақыты, сағат
электрожарық	9	60	4
теледидар	1	60	6
видеоплеер	1	10	6
компьютер	1	300	2
принтер	1	20	1
тоңазтқыш	1	300	4

Екінші тарауда шаруа қожалығының электрмен жабдықтау схемасы қарастырылған. Қуаттың жетіспеушілігіне байланысты дизель генераторын қосу әдетке айналды. Сондай-ақ, шаруа қожалығының жүктемесінің шамамен есептелуі жүргізілді.

2.2 Горизонталь өсті типтегі төмен қуатты ЖЭК математикалық моделі

ЖЭК құрылымдарының математикалық модельдері. Жел қабылдайтын құрылғының математикалық моделі.Әлемдік үрдіс белгілі бір қалак санынан тұратын горизонталь өсті типті ЖЭК пайдалану тиімділігін нақты айқындағы, орындылығы түрғысынан 3 санында (жылдамдық 5-ке тең, кейбір жағдайларда 25-30% шегінде) [5-8]. Жел турбинасы қалақтары шығаратын механикалық қуат:

$$P_{\text{мұх}} = (0,5 \cdot \pi \cdot \rho \cdot R \cdot C_p Z, \beta) \cdot V \quad (2.1)$$

мұндағы C_p -компьютерлік модельге қатысты жел энергиясын

пайдаланудың салыстырмалы коэффициенті;

P -аяу ағынының тығыздығы

V -желдің жылдамдығы;

R -сыптырылатын радиусы-аяу ағынының тығыздығы;

Компьютерлік модельде, жылдамдық функциясында және шабуыл бұрышында қолданылатын жел энергиясын пайдалану коэффициенті тендеуден анықталады:

$$C_p(Z, \beta) = c_1 = \left(\frac{c_2}{Z_i - c_3 \beta - c_4} \right) e^{\frac{-c_5}{Z_i}} + c_6 \quad (2.2)$$

мұндағы c_1 - c_6 -үш қабатты турбиналардың империялық коэффициенттері

B -шабуыл бұрышы;

Z_i - тендеуден анықталатын салыстырмалы жылдамдық;

$$\frac{1}{Z} = \frac{1}{Z + 0,08\beta} - \frac{0,035}{\beta^3 + 1} \quad (2.3)$$

Z - нақты жылдамдық;

$$Z = \frac{v_{\text{сқ.ЖЭК}}}{V_{\text{жел}}} = \frac{wR}{V} \quad (2.4)$$

мұндағы $v_{\text{сқ.ЖЭК}}$ - ЖЭК сзықтық жылдамдығы, м / с;

w -жел турбинасының бұрыштық жылдамдығы, рад / сек;

R -сыптырылатын беттің радиусы, м;

V -желдің сзықтық жылдамдығы, м / с

Жел турбинасының немесе генератордың білігіндегі механикалық момент:

$$M = \frac{P}{w} \quad (2.5)$$

мұндағы w -генератор білігінің немесе жел турбинасының айналу жылдамдығы. Синхронды генератор немесе жел турбинасы динамикасының тендеуі:

$$\frac{dw}{dt} = \frac{1}{J} [M_{\text{айналу}} - M_{\text{жүктеме}} - Fw] \quad (2.6)$$

мұндағы J -инерция моменті, кг м²;

F -тұтқыр үйкеліс коэффициенті;

$M_{\text{вр}}$ - жел турбинасының айналу моменті;

$M_{\text{нагр}}$ - кедергі сәті құратын жүктеме. Айналмалы электромагниттік момент:

$$M_{\text{эл}} = \frac{3}{2} p [(L_{ds} - L_{qs}) i_d \cdot i_q \cdot i_q \cdot \psi_f] \quad (2.7)$$

мұндағы p -полюстер жүптарының саны ;

L_{ds} - статор орамасының бойлық индуктивтілігі, Гн;

L_{qs} - статор орамасының көлденен индуктивтілігі, Гн;

i_d - бойлық ток, А;

i_q - көлденен ток, А;

ψ_f -тұрақты магнит ағыны, ДБ.

Синхронды айналмалы координаттар жүйесіндегі синхронды генератор моделі.

$$\begin{cases} \frac{di_d}{dt} = \frac{1}{L_{ds}} \cdot u_d - \frac{r_s}{L_{ds}} i_d + w_e i_d \cdot \frac{L_{qs}}{L_{ds}} \\ \frac{di_q}{dt} = \frac{1}{L_{ds}} \cdot u_q - \frac{r_s}{L_{qs}} i_q + w_e i_q \cdot \frac{\psi_f w_e}{L_{qs}} \end{cases} \quad (2.8)$$

мұндағы u_d - бойлық өстің кернеуі қайда, В;

u_q - көлденен өстің кернеуі, В;

r_s - белсенді статор кедергісі;

w_e - электр синхронды айналу жиілігі, рад / с:

$$w_e = p \cdot w_{\text{ген}} \quad (2.9)$$

мұндағы P - полюстер жүптарының саны;

$w_{\text{ген}}$ - генератордың айналу жиілігі, рад / с.

СГПМ механикалық жүйесінің динамикасы келесі тендеу жүйесімен сипатталады:

$$\begin{cases} \frac{dw}{dt} = \frac{1}{J} (M_e - M_f - M_w - M_m) \\ \frac{d\theta}{dt} = w_m \end{cases} \quad (2.10)$$

мұндағы J - жүктемеге сәйкес генератордың инерциясы;

F -генератордың тұтқыр үйкеліс коэффициенті;

Θ -генератор роторының бұрыштық орналасуы;

M_e - генератор білігіндегі электромагниттік (айналмалы) момент

M_m -генератор білігіндегі механикалық кедергі моменті;

M_f -біліктегі үйкелістің статикалық моменті;

$W_m = W$ -ротордың бұрыштық жылдамдығы (механикалық).

Түрлендіргіш құрылғылардың математикалық моделі.

Түзеткіштің математикалық моделі келесідей:

Түзеткіштің шығысындағы кернеу:

$$U_{\text{вых}} = \frac{3\sqrt{3}}{\pi} U_{\text{макс}} = 1,65 \cdot U_{\text{макс}} = 2,34 \cdot U_{\text{ср.кв.пик.}}$$

Мұндағы $U_{\text{макс}}$ - максималды немесе амплитудалық кернеу;

$U_{\text{ср.кв.пик.}}$ - жарты толқынның барлық ең жоғары мәндерінің орташа квадраттық кернеуі

Инвертордың математикалық моделі келесідей:

$$U = \frac{4}{\pi} \cdot U_m \left[\cos\theta \cdot \sin\omega t + \frac{1}{3} \cos 3\theta \cdot \sin 3\omega t + \frac{1}{5} \cos 5\theta \cdot \sin 5\omega t + \dots \right] \quad (2.11)$$

$$U_{\text{вых}} = \frac{2}{\pi} U_m \sum_{n=1}^{\infty} \left(\frac{\cos\theta \cdot \sin\omega t}{n} \right) [1 - (-1)^m] \quad (2.12)$$

Мұндағы U_m - амплитудалық кернеу;

Θ -фазалық ығысу бұрышы;

w -бұрыштық жиілік, $n = 1, 2, 3, 4, 5, 6, \dots$

Электр энергиясын жинақтаушылардың математикалық моделі:

$$V_{bat} = V_1 + I_{bat} \cdot R_1 \quad (2.13)$$

$$R_1 = R_{ch} = \left(0,785 + \frac{0,139}{[1,06 - SOC(t)] \cdot n_s} \right) \frac{1}{SOC_m} \quad (2.14)$$

$$V_1 = V_{ch} = [2 + 0,148 \cdot SOC(t)] \cdot n_s \quad (2.15)$$

$$R_1 = R_{dch} = \left(0,19 + \frac{0,1037}{[SOC(t) - 0,14] \cdot n_s} \right) \frac{1}{SOC_m} \quad (2.16)$$

$$SOC(t + dt) = SOC(t) \left(1 - \frac{Ddt}{3600} \right) + \frac{K_b(V_{bat} \cdot I_{bat} - R_1 \cdot I_{bat}^2) dt}{3600} \quad (2.17)$$

$$SOC(t) = SOC(t-1) + \frac{1}{3600} \int_{t-1}^t \left[\frac{K_b \cdot V_1 \cdot I_{bat}}{SOC_m} - SOC(t-1)D \right] Dt \quad (2.18)$$

мұндағы V_{ch} - батарея зарядының кернеуі;
 V_{dch} - батарея зарядының кернеуі
 R_{ch} - батареяны зарядтау кезіндегі қарсылық;
 R_{dch} - АКБ разряды кезіндегі қарсылық;
 SOC_1 - батарея зарядының бастапқы деңгейі;
 SOC -қол жетімді батарея заряды (ағымдағы) АКБ максималды заряды ;
 n_s - 2 вольт пластиналарының саны
 Ddt -батареяны зарядтау уақыты;
 K_b - батарея зарядын немесе зарядын анықтайтын өлшемсіз шама.

$$U_{akb} = U_1 + I_{akb} \cdot R_1 \quad (2.19)$$

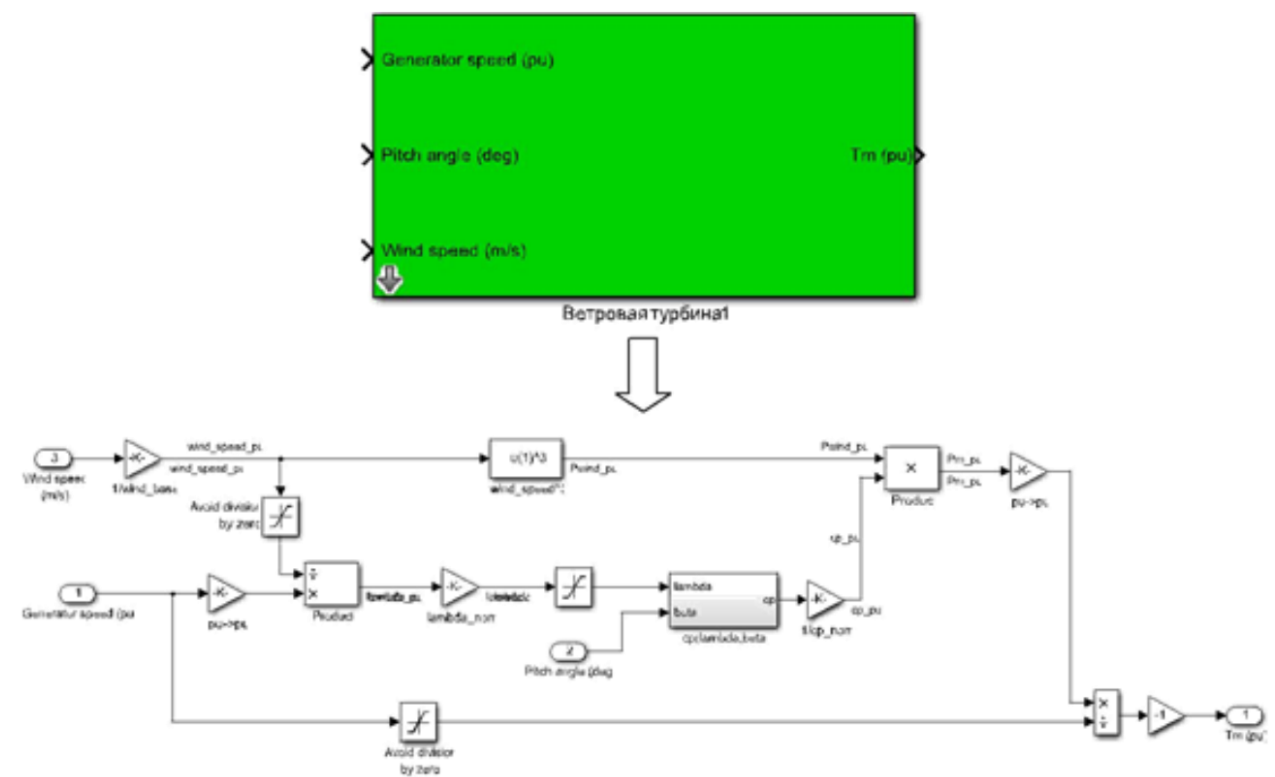
$$R_1 = R_{zap} = \left(0,785 + \frac{0,139}{[1,06 - y3(t)]n_s} \right) \frac{1}{y3_{max}} \quad (2.20)$$

2.3 MATLAB аясында ЖЭҚ имитациялық моделін зерттеу R2014b

Жүктемесіз горизонталь өсті типті тәмен қуатты ЖЭҚ жұмысын зерттеу. ЖЭҚ компоненттерінің жұмыс динамикасын сипаттайтын математикалық тендеулер негізінде MATLAB r2014b бағдарламасында Simulink және SimPowerSystems кітапхана элементтерін қолдана отырып модель құрастырылды. 2-суретте көрсетілген модель элементтері (жел турбинасы, тұрақты магниттердегі синхронды генератор және аккумуляторлық батарея) қуатты өндіру және оны жинақтау процестерін толық сипаттайды. Модельдің барабарлығы үшін Airforce 1 маркалы нақты жел турбинасының бірдей параметрлері, Ұлыбритания өндірісі, техникалық сипаттамалары, оның компьютерлік модельдеу моделін құру үшін біз математикалық модельдерді жоғарыда сипатталған бірнеше компоненттерге бөлдік.

2.2-кесте -AirForce жел қондырғысының техникалық сипаттамалары

Номиналды шығыс қуаты	1000 W
Кернеуі	24 В
Желдің бастапқы жылдамдығы	3,5 м/с
Номиналды желдің жылдамдығы	12,5 м/с
Ротордың диаметрі	1,8 м
Ротордың жылдамдығы (минутына айналу)	200-800
Пышақтар саны	3
Генератордың типі	3-х тұрақты магниттері бар фаза
Салмағы	27 кг
Мачта	50мм биіктігі бар құбыр 8м



2-Сурет-Жел турбинасының үлгісі

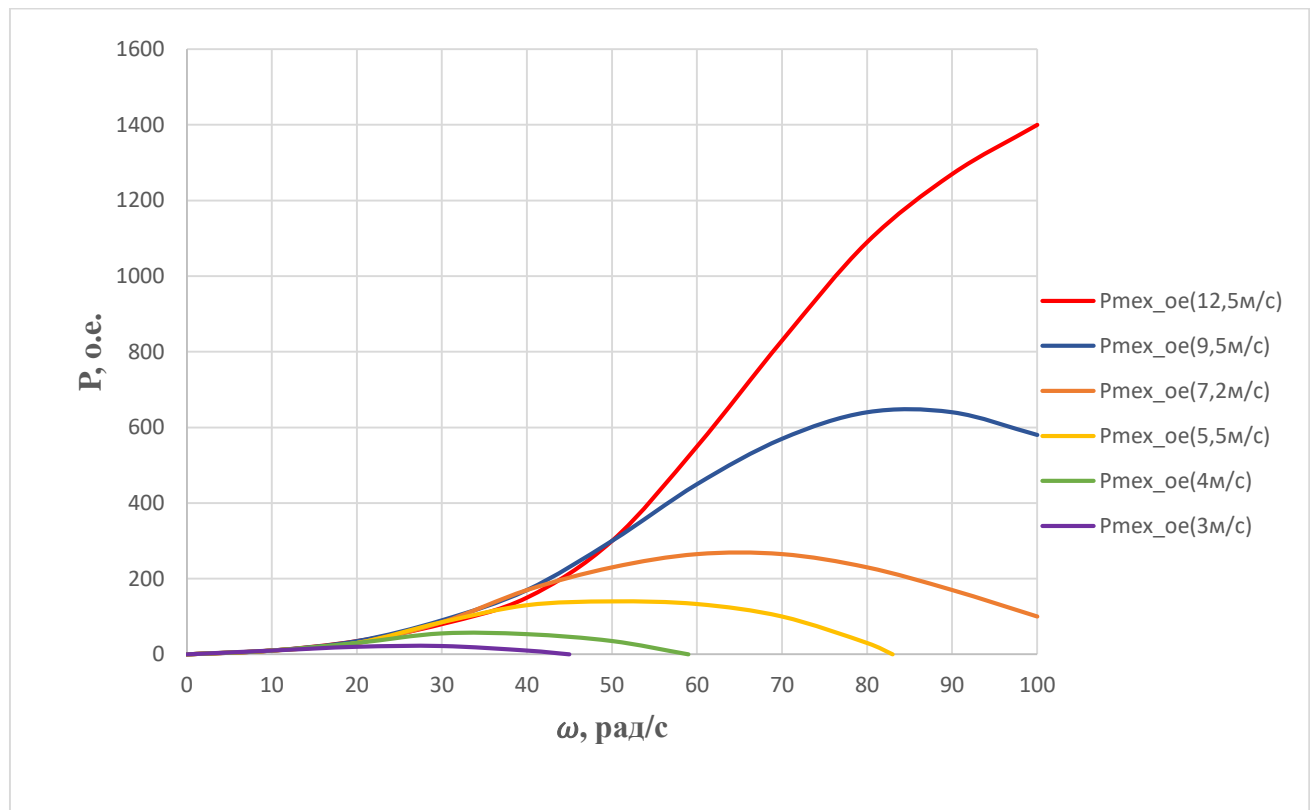
2-суретте көрсетілген жел турбинасының параметрлері салыстырмалы бірліктерде көрсетілген:

- жел турбинасының номиналды механикалық қуаты: 1 кВт;
 - электр генераторының негізгі қуаты: 1000/0, 9 (жел турбинасындағы қуаттың жоғалуын ескере отырып);
 - желдің негізгі немесе номиналды жылдамдығы: 12,5 м / с;

- желдің салыстырмалы жылдамдығы кезінде өндірілетін ең жоғары қуаттың салыстырмалы коэффициенті: 0,73;
- негізгі айналу жылдамдығының коэффициенті: 1,2.

Блок үшін кіріс және шығыс параметрлерін пайдалану кезінде салыстырмалы шамаларды атап шамаларға және керісінше түрлендіретін арнайы коэффициенттер қолданылды.

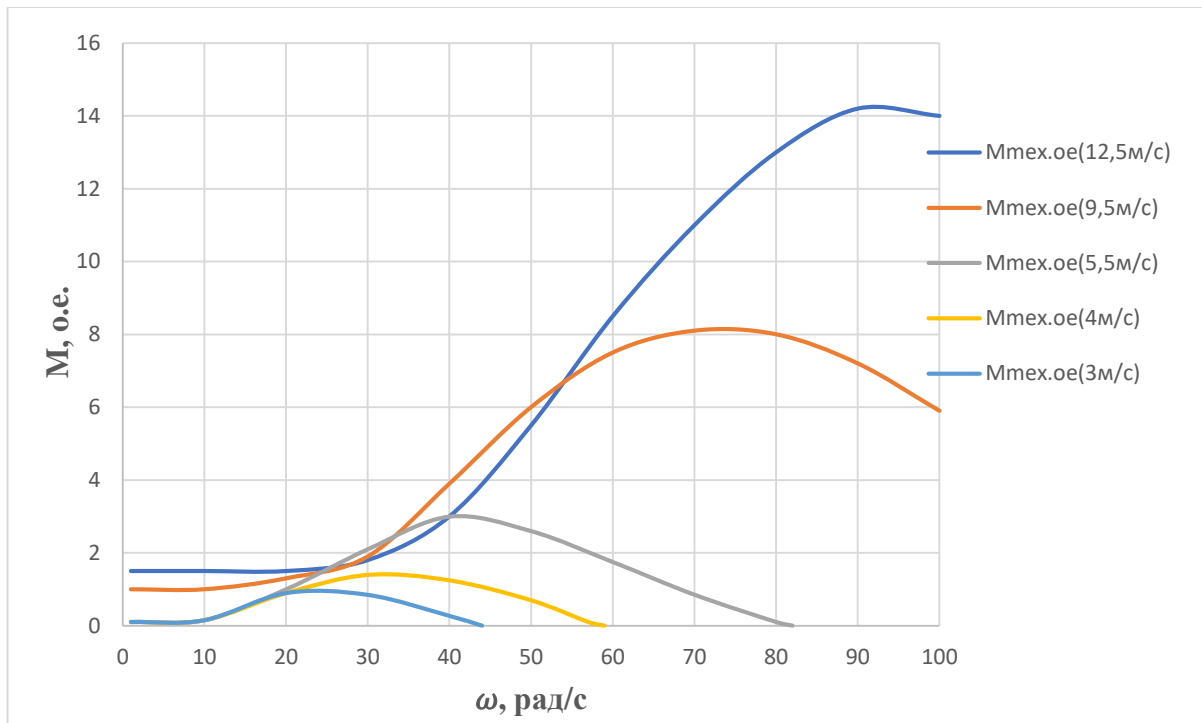
Жел турбинасының математикалық моделін қолдана отырып, динамиканың көрінуі үшін суретте көрсетілген салыстырмалы бірліктерде желдің әртүрлі жылдамдығында (шабуыл бұрышы 0-ге тең) максималды қуат пен механикалық момент алынды. 2.1 және 2.2.



2.1-сурет -Механикалық моменттің динамикасы

- Тұрақты магниттердегі синхронды генератор (GPM-мен).
- Статор фазасының кедергісі: 0,576 Ом;
 - Ротордың индуктивтілігі (GN) және тұрақты магниттерден (Bb) ағындық байланыс-бұл генератордың жылдамдығына байланысты ауыспалы шамалар;
 - Генератор полюстерінің жұп саны: 8;
 - Генератордың инерция моменті: 0,02649 кг·м²;
 - Номиналды сәт: 19,9 Нм.
 - Қайта зарядталатын батарея:
 - Номиналды көрнеу: 24 В;

- Сыйымдылығы: сағатына 100 А;
- Бастапқы заряд деңгейі: 25%.

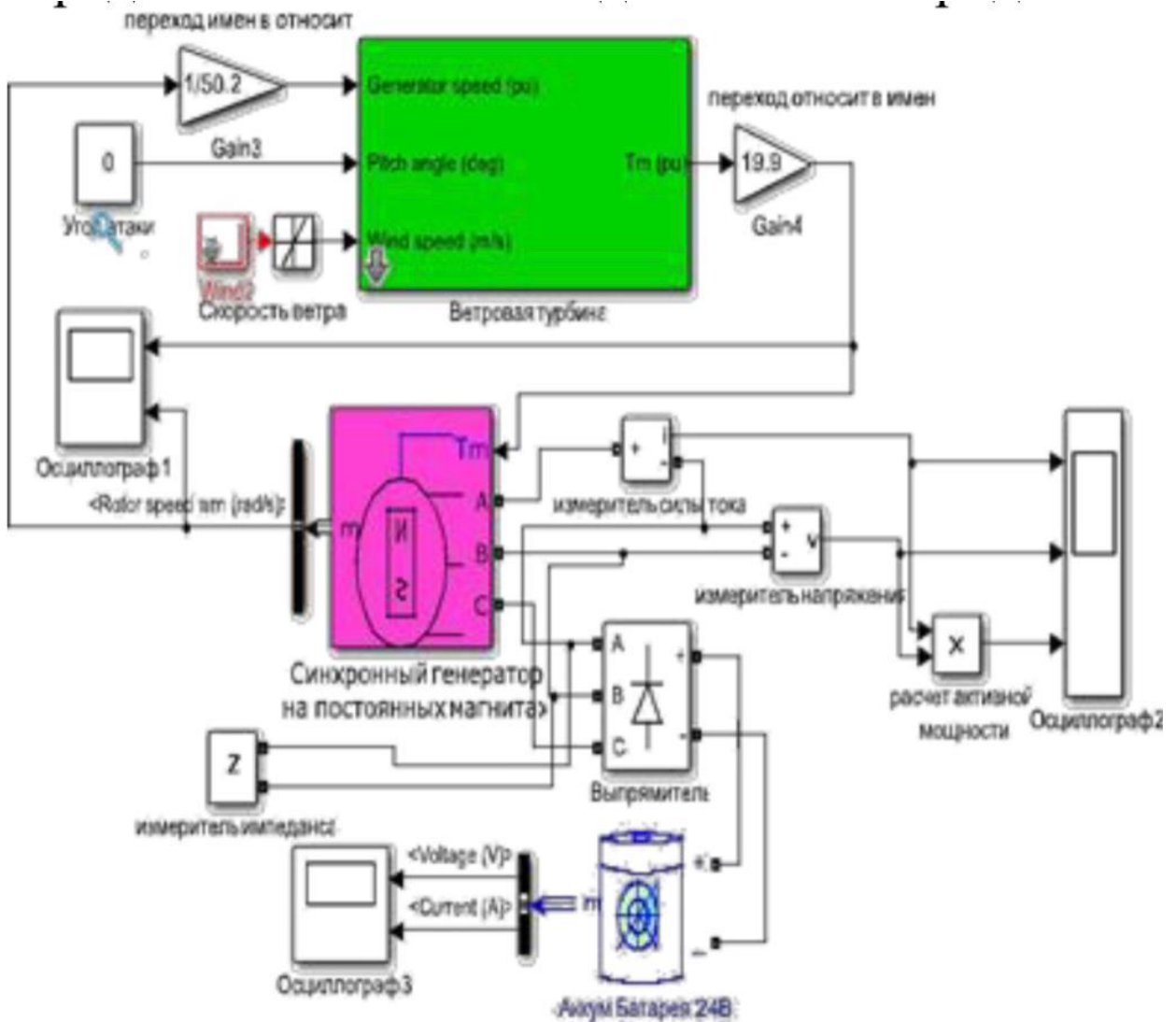


2.2-сурет-Жел турбинасы өндіретін қуат динамикасы

2.3-кесте-Жел турбинасының айналу жиілігіне байланысты модельдеуге арналған СГПМ параметрлері

Желдің жылдамдығы	5,5	7,2	8,6	9,5	11	12,5
Айналу жиілігі, айн / мин	310	400	420	442	460	480
Бұрыштық жиілік, рад/с	32,4	41,86	43,96	46,26	48,1	50,2
Индуктивтілік, Гн	0,017	$8 \cdot 10^{-3}$	$5,328 \cdot 10^{-3}$	$4,36 \cdot 10^{-3}$	$3,12 \cdot 10^{-3}$	$2,37 \cdot 10^{-3}$
Ағындық байланыс, Вб	0,085	0,082	0,08	0,079	0,075	0,071

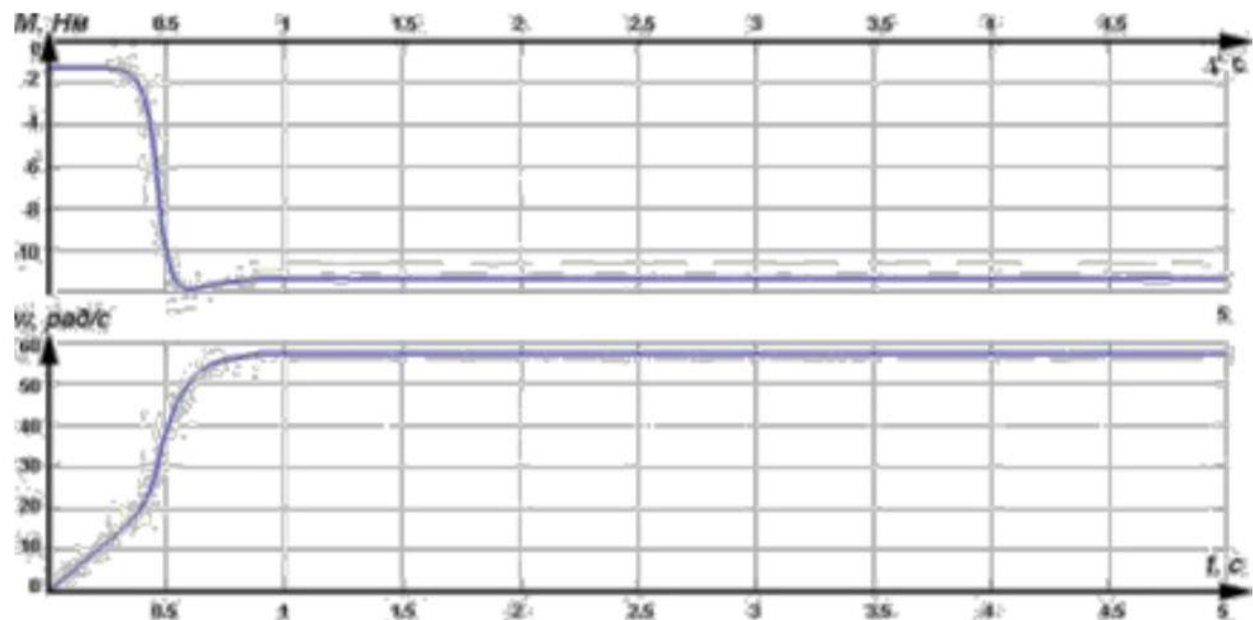
2.3-суретте батареяда заряды бар жел турбинасының толық моделі көрсетілген.



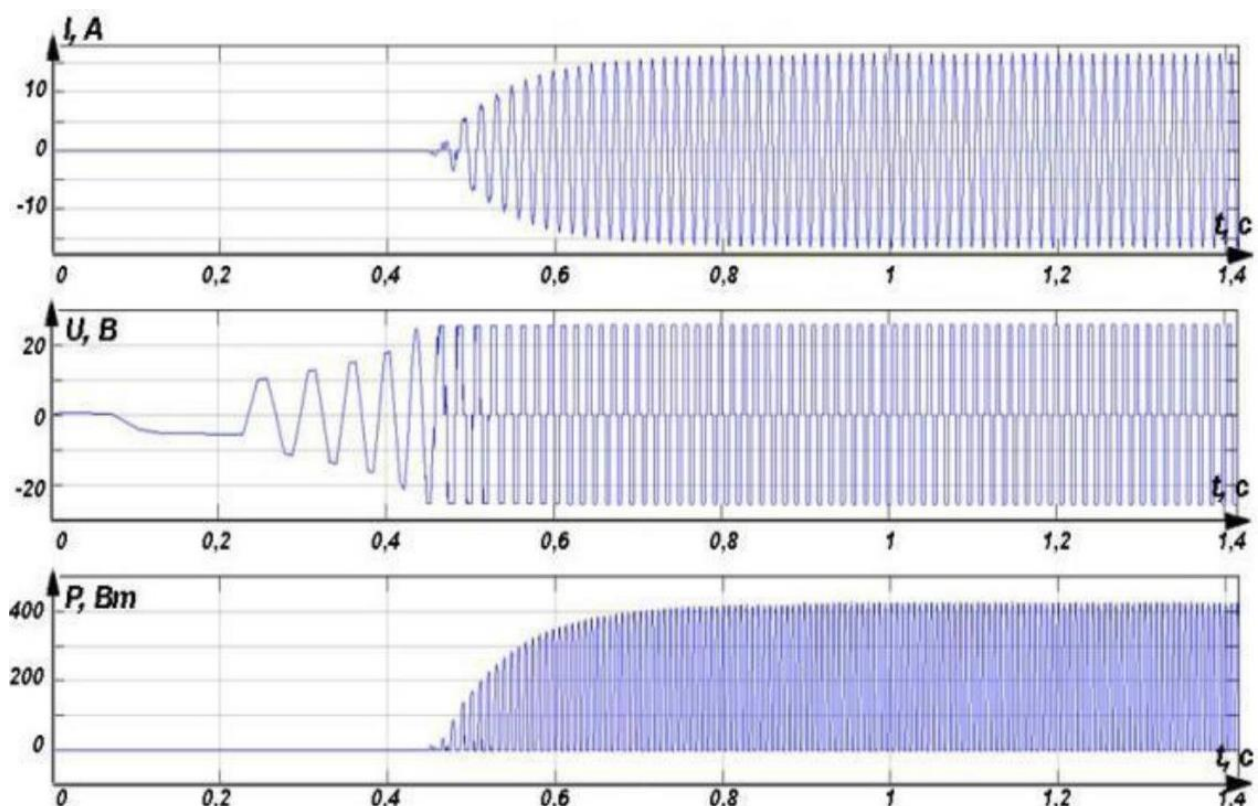
2.3-сурет - Қуатты өндіру және оны жинақтау процесін сипаттайтын ЖЭК моделі

Модельдеу 1:

- Номиналды желдің жылдамдығы: 12,5 м / с;
- Айналу жиілігі: 480 айн/мин;
- Модельдеу ұзақтығы: 5 сек. Алынған осцилограммалар төменде келтірілген. ЖЭК осцилограммасына сәйкес айналу жиілігі мен моменттің 0,8 сек белгіленген мәніне шығады. Бұл жағдайда теріс момент қолданылатын блоктың "синхронды машина" екендігімен түсіндіріледі және генератор ретінде ұсынылады (қозғалтқыш ретінде он).

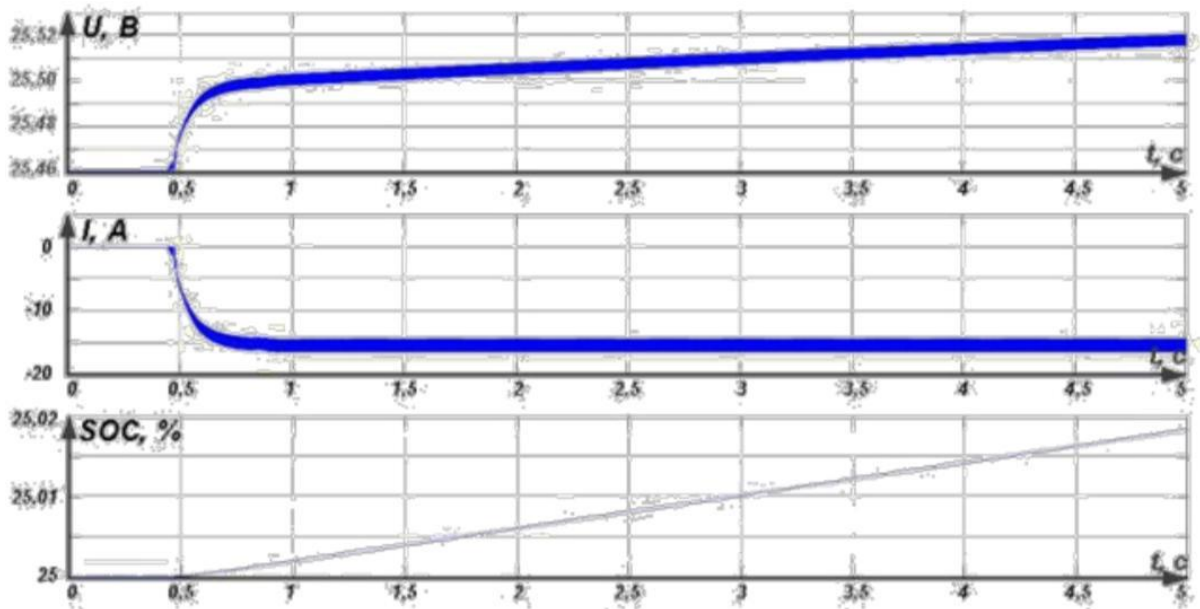


2.4-сурет - Айналым моменті мен жылдамдықтың осциллографмасы



2.5 - сурет - Токтың, кернеудің және активті қуаттың осциллографмасы

Осциллографмаға сәйкес желдің номиналды жылдамдығындағы қуат өндірісі 420 Вт құрайды, бұл номиналды қуатқа шығуды анықтайды.

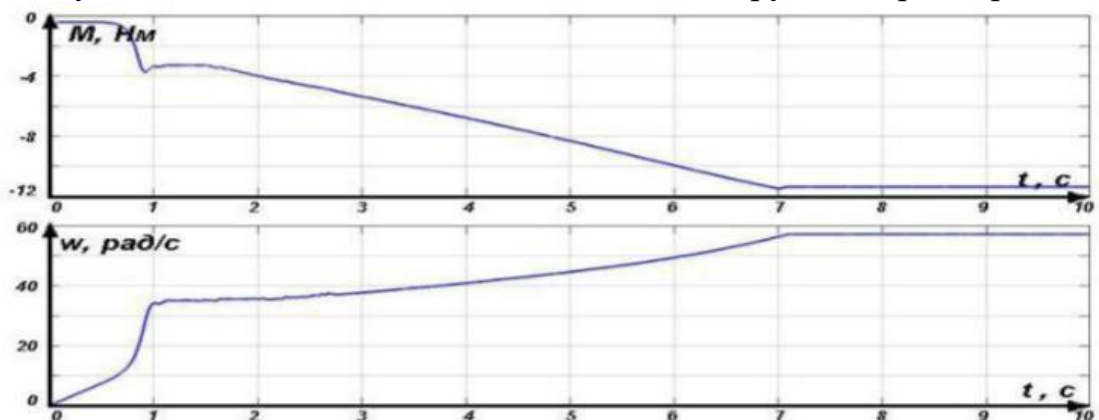


2.6-сурет - Аккумулятордағы кернеудің, токтардың және заряд деңгейінің осциллограммалары

Алынған осциллограммаларға сәйкес, аккумуляторды зарядтау процесі 4,5 секундқа созылатынын көруге болады, бұл кезде заряд деңгейі 0,02% көтеріледі.

Модельдеу 2:

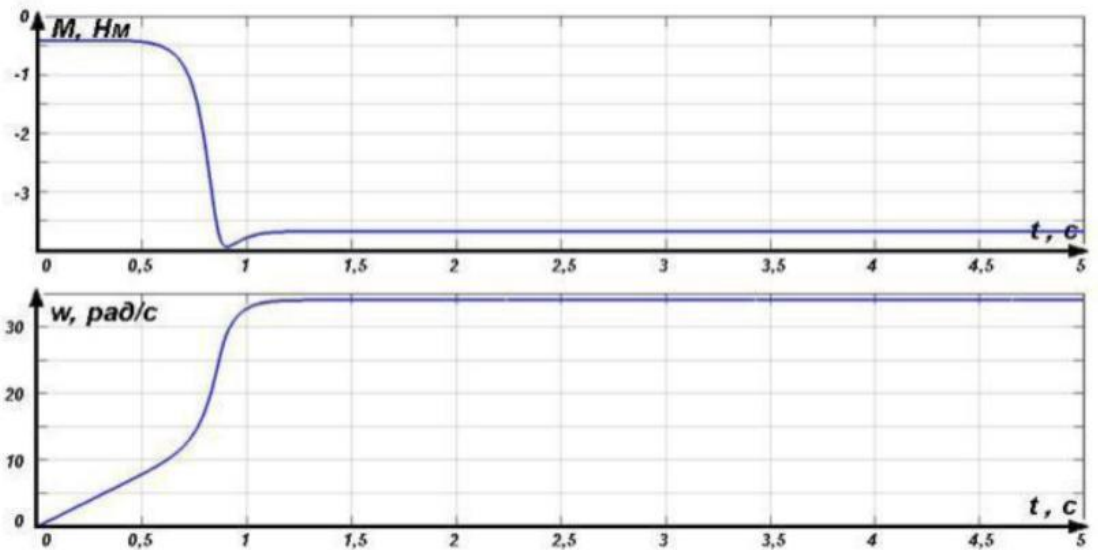
Бұл жағдайда жел қондырғысының үдеуі 7 м/с жел жылдамдығында, содан кейін 1,5 секундтан кейін жылдамдықтың 12,5 м/с өзгеруінде қарастырылады.



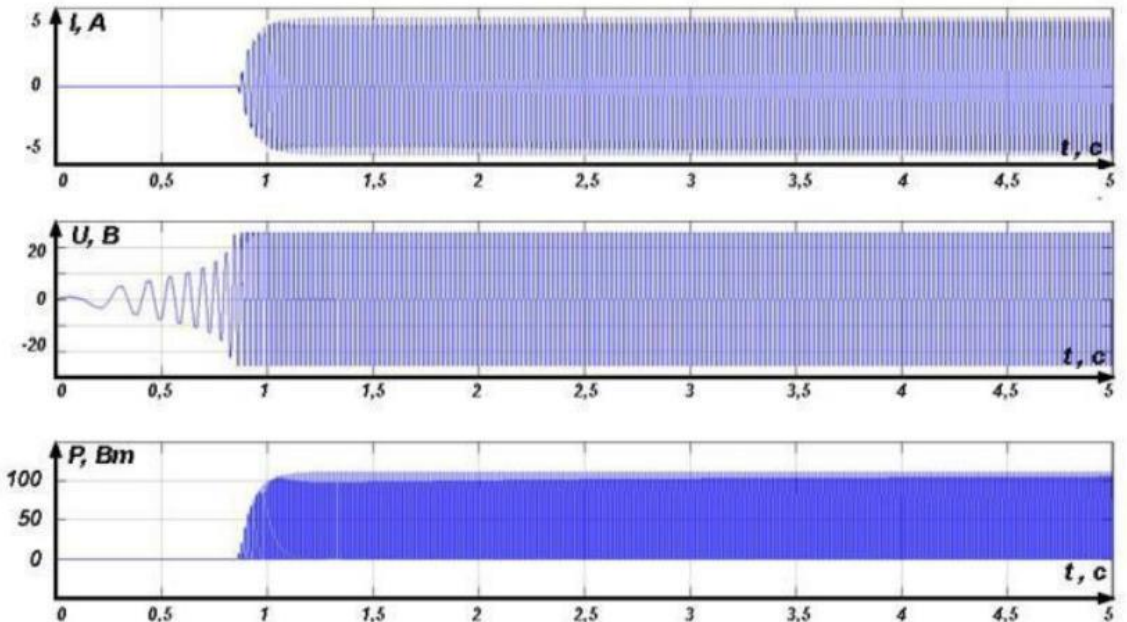
2.7 -сурет - Айналу жылдамдығының осциллограммасы және жел жылдамдығын өзгерту кезіндегі момент

Модельдеу 3:

Бұл жағдайда желдің жылдамдығы 7,2 м/с болған кезде жүктеме астында жұмыс істен мәселесі қарастырылады, алайда бұл үшін тұтынушы жүктемесінсіз және тек батареямен ЖЭҚ өндірісін тексеру қажет.

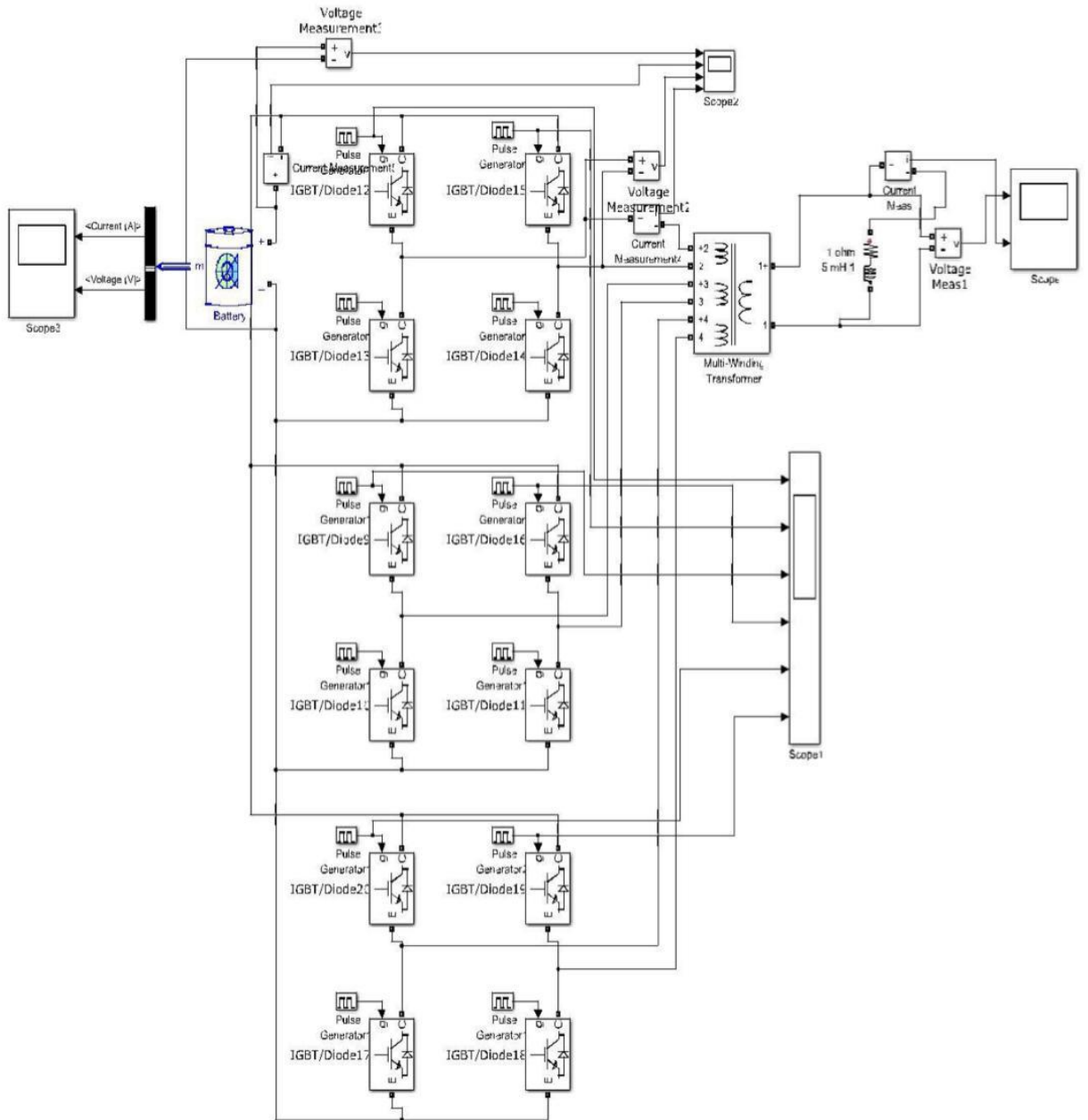


2.8-сурет - Жүктеме жоқ 7,2 м/с жылдамдық кезіндегі айналу моменті мен жиілігінің осциллограммасы



2.9-сурет - Жел жылдамдығы 7,2 м/с кезінде жүктемесіз токтардың, кернеулердің және қуаттың осциллограммасы

Жүктеме астында горизонталь өсті типтегі төмен қуатты жел турбинасын модельдеу. Жүктеме кезінде ЖЭК жұмыс режимдерін зерттеу мыналарды талап етеді барлық қажетті компоненттердің құрамы, оның ішінде қуат инвертордың көмегімен жүзеге асырылатын тұтынушылық жүктеме де бар. Сондай - ақ, автономды электрмен жабдықтау жүйелеріндегі жүктеме көп жағдайда бір фазалы, ал инверторға қойылатын талап стандартты жиіліктің синусоидальды кернеуі 50 Гц (ГОСТ Р-54149-2010) екенін атап өткен жөн. Тиісті инвертордың моделі 2.9-суретте көрсетілген.



2.10-сурет - Тиісті инвертордың моделі

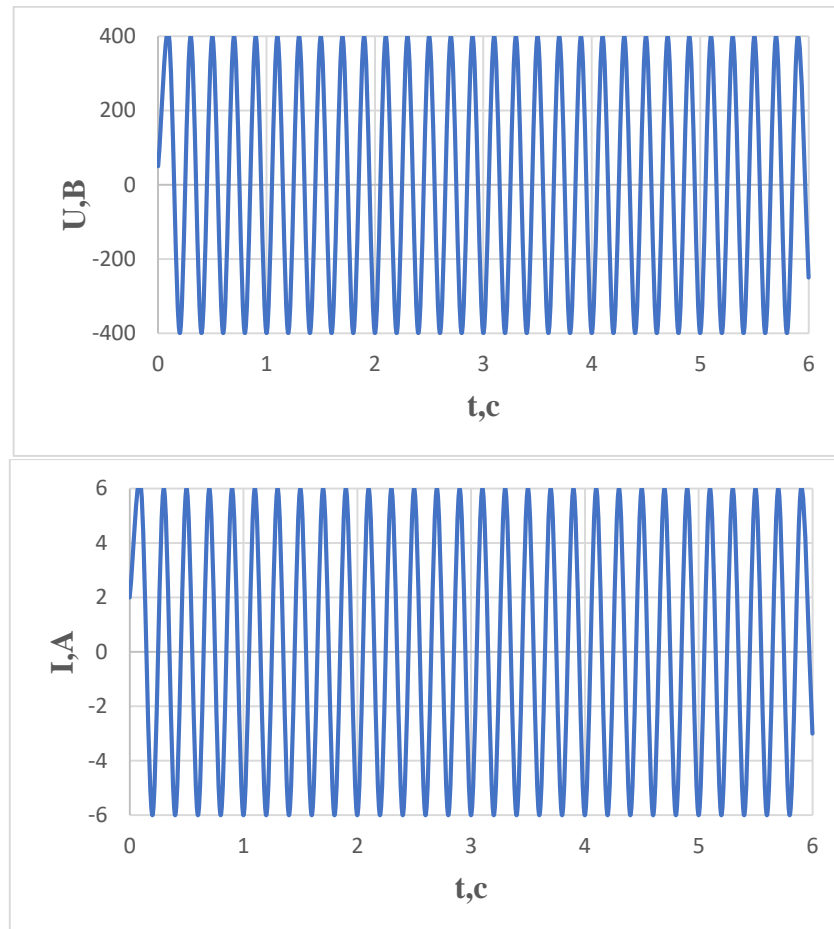
Инвертордың құрылымдық орындалуы синусоидальды форманың (көп деңгейлі) екі сатылы модуляциясын құрайтын құрылымдағы жоғарылататын трансформаторы бар стандартты бір фазалы инверторлардан ерекшеленеді, өйткені ол 3 транзисторлық көпірлерден тұрады (12 кілт). Бұл принцип, әдетте, инвертордың кіріс кернеуі шығу кернеуінен төмен, сондықтан токтар да әр түрлі болады. Мұндай жағдайлардың көпшілігінде инверторға кіретін үлкен токтар үлкен токтарға қымбат транзисторлардың болуын анықтайды. Инверторлардың кірісіндегі токты бөлу орынды, осылайша транзисторларды төмен токтарға қолдануды қамтамасыз етеді.

Тәжірибе 1. ЖЭК-нің белсенді жүктеме астында жұмыс істеуі.

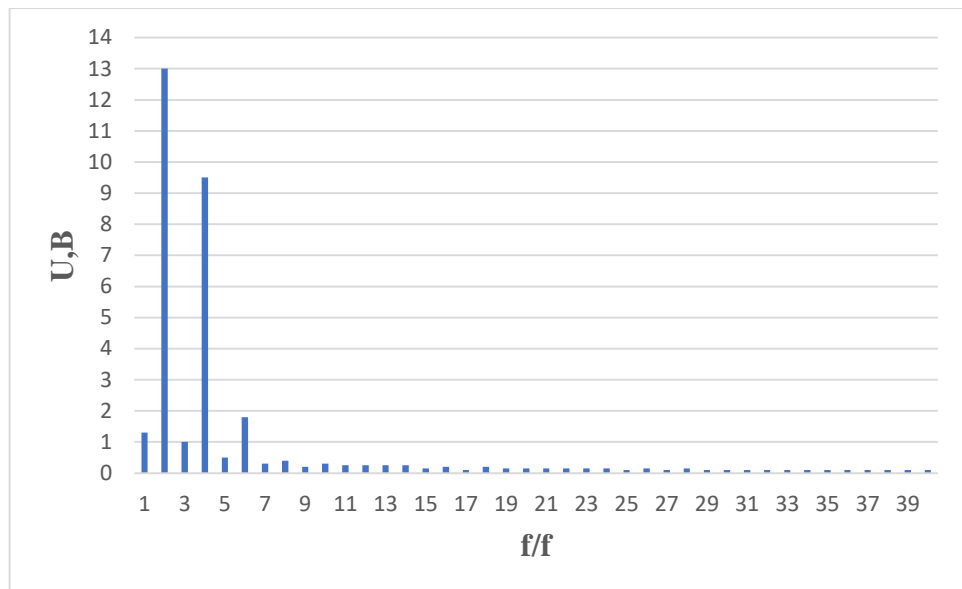
Негізгі параметрлері:

- желдің жылдамдығы 12,5 м/с;

- өндірілетін нақты қуаты: 480 Вт;
- батарея қуаты 100 Ач: 50%;
- инвертор қуаты: 3 кВА;
- трансформатордың қуаты: 3 кВА;
- жүктеме қуаты: 900 Вт (72 Ом).



**2.11-сурет - Тұтыну жүктемесінің токтары мен кернеулерінің
Осциллографмалары**



2.12-сурет - Тұтынушылық жүктеме тогының гармоникалық құрамы

Қорытынды: бұл бөлімде MATLAB аясында горизонталь өсті типтегі нақты тәмен қуатты жел турбинасының модельдеу моделі берілген. Компоненттердің математикалық модельдерінің негізінде жел жүктемесіз және жүктемесіз әртүрлі жел жылдамдығы кезіндегі ЖЭК жұмысының процестері зерттелді. Алынған осциллографмалар гармоникалық құрамы тәмен кернеулер мен токтардың синусоидальды формаларының арқасында тұтынушыларды сапалы энергиямен қамтамасыз етуді көрсетеді. 24 В кернеуде инвертордың трансформаторға шығуындағы жүктеме кезіндегі токтардың мәндерін қарастырған кезде 37,5 А (инвертордың әр иығында 12,5 а), ал 220 В кезінде тұтынушы тогының мәні 900 Вт қуатта 4,1 А құрады.

3 Математикалық модельді әзірлеу және жел қондырғысының қалақшаларының геометриялық өлшемдерін есептеу

Математикалық модельді компьютерлік іске асыру үшін сандық алгоритм жасау. ЖЭК үшін иық пышағын салу принципі алгоритмі.

Жел ағында әзірлеудегі идеалды жел қондырғысының қуатын келесідей жазуға болады:

$$P = КПД \cdot 1,21 \cdot \pi \cdot r^2 \cdot V \quad (3.1)$$

мұндағы $1,21 \text{ кг}/\text{м}^3$ - ауа тығыздығы,
 πr^2 - қалақшамен сыйрылған бет
V - желдің жылдамдығы, м /с.

Жүктемеде жұмыс істейтін жел электр станциясының айналымдары бір, бос-басқалары, әртүрлі жүктемелерде – басқалары. Егер (3.1) формуласы бойынша есептелген номиналды жүктемемен жүктелген r , жел қондырғысы оның қалағының үшін желдің жылдамдығынан Z есе асатын тұрақты жылдамдықпен қозғалатындағы етіп айналады деп болжасақ (Z саны - өлшемсіз және жылдамдық деп аталады, жылдамдығы 3-тен кем жел қондырғылары төмен жылдамдықты деп аталады, ал 3-тен көп жоғары жылдамдықты).

Генераторды жүктейтін құрылғы оның қысқыштарындағы кернеудің өсуіне байланысты генератордың айналу жиілігін балласт реттегіші деп аталады. Ол жел қондырғысы мен генератордың қуатының сәйкес келу нүктесін желдің кең ауқымына "жағады" және дизайнды тікелей бастауға мүмкіндік береді. Балласт реттегішімен жабдықталған генератор әрдайым жел қондырғысының қуатын тұтынатындығын біле отырып, балласт өшірілген кезде жел қондырғысының ең аз жеде шығаратын қуаты жүктемені қосу үшін генератор тұтынатын қуатқа тең болады делік. Бұл нүкте момент нүктесі деп аталады, әдетте оны жылдам жүретін агрегаттар үшін 4 м/с және баяу жүретіндер үшін 2 м/с жел есебінен алады. Осы нүктеден бастап және бурезақорғау іске қосылғанға дейін номиналды жүктелген жел қондырғысы өзінің айналымын есептік жылдамдықты сақтай отырып, жел жылдамдығының өсуіне тура пропорционал арттырады, демек қалақшатарға шабуылдың барлық бұрыштары, бұл осы геометрия үшін максималды тиімділікпен және ең аз шуылмен жұмыс істеуді білдіреді.

Сонымен, жел 4 м/с құрайды, генераторға қажет минималды P_{min} қуаты белгілі (ол генератордың тиімділігіне бөлінген жүктеме қуатына тең). Содан кейін жел қондырғысының қажетті радиусы келесідей болады:

$$R_2 = P_{min} / (КПД \cdot 1,21 \cdot \pi \cdot V^3), \quad (3.2)$$

Жел қондырғысының жылдамдығын анықтау үшін, желдің жылдамдығы 4 м/с (және одан да көп) кезінде диаметрі мен қуатын және скапула шығаратын осы қуат айналымдарында генераторды игеру мүмкіндігін біле отырып, біз жүктемеде өлшенген айналымдардан генератордың қуат қисығын қолданамыз.

осы қисықтан біз 4 м/с жылдамдықпен белгілі диаметрлі жел турбинасынан талап етілетін айналымдарды бөлеміз (Z параметрін бірден есептеуге рұқсат етіледі, ол 4 м/с - пен байланысты емес және кез-келген қолайлыш жел жылдамдығына сәйкес келеді).

Жел жылдамдығы 4 м/с, жел қондырғысының радиусы кезінде генератордың белгілі айналымдары кезінде жел қондырғысының айналма жылдамдығы (қалақтың ұшында) тең:

$$W = \frac{R_{pm}}{60} \cdot \pi \cdot r, \quad (3.3)$$

онда шапшаңдық:

$$Z = \frac{W}{V} \quad (3.4)$$

мұндағы Z -біздің жел қондырғымызда қанша қалақша болатынын анықтайды.

Егер координаттар жүйесі профильге қатаң байланған болса, онда осы координаттар жүйесіндегі бақылаушы профильге түсетін ауа ағынын көреді, бұл ағынның жылдамдығы:

$$V = r \cdot \frac{2 \cdot r \cdot p \cdot m}{60} \quad (3.5)$$

мұндағы r -жел қондырғысының радиусы;

r_{pm} - сәйкесінше оның айналымдары.

Тапсырманы қынданатайық - жел енгізейік. Бұрын қарастырылып отырылған әдістемеде бейнениң шеңберлік жылдамдығы желдің жылдамдығын Z есе асып түседі,. Профильмен байланысты координаттар жүйесіндегі бақылаушы қазір желдің жылдамдығы мен профильдің айналмалы жылдамдығының векторлық қосындысын құрайтын ағынды, яғни мынаған тең ағынды көреді:

$$V^2 = V^2 + w^2 = w^2 + (w \cdot Z)^2, \quad (3.6)$$

Тиісінше, бұл ағынның иық пышағының жазықтығына түсетін бұрышы:

$$a = \operatorname{arctg}(V / w) \cdot \operatorname{arctg}(1 / z), \quad (3.7)$$

Ағын айналмалы жел қондырғысына қандай жылдамдықпен және қандай бұрышпен жүгіретінін біле отырып, Профильді әртүрлі бұрыштармен бұрап, профильге әрекет ететін пайдалы құш(айналдыру кезінде алға қарай итеретін қалақша) максималды болатындей етіп қол жеткізуге болады(профиль хордасы мен жел қондырғысының жазықтығы арасындағы және оның астында профиль қозғалыс кезінде максималды тартуға мүмкіндік беретін бұрышты емле бұрышы деп атайды). Профильдің енін анықтаймыз. Шынында да, егер В мәнін профильдің ені ретінде қабылдайтын болсақ, онда екі қалақша үшін жалпы мәні $2b$ болады, профиль сәйкесінше дамитын көтеру күші келесідей болады:

$$F_1 = 0,5 \cdot 1,21 \cdot C \cdot b \cdot V^2, \quad (3.8)$$

(әзірге біз фронтальды қарсылықты қарастырмаймыз - бұл, әрине, жуықтату – бірақ жақсы профильдер үшін өте дәл), содан кейін екі профильдің (екі қалақшаның) жалпы күші болады:

$$F_a = F_1 \cdot \cos(\gamma + 90) \quad (3.9)$$

мұндағы γ - заклинение бұрышы.

Профиль белгілі айналмалы жылдамдықпен қозғалатындықтан:

$$V = w \cdot Z, \quad (3.10)$$

екі қалақша дамытатын қуат (олар кез-келген n мөлшерде болуы мүмкін, кейін жалпы ені $n \cdot b$) келесіні құрайды:

$$P = 2Fa \cdot w \cdot Z = 2F_1 \cdot \cos(\gamma + 90^\circ) wZ = \\ 0,5 \cdot 1,21C_1 \cdot 2b \cdot V^2 \cdot \cos(\gamma + 90^\circ) wZ, \quad (3.11)$$

Бұрын есептелген V' мәнін қою арқылы аламыз:

$$P = 0,5 \cdot 1,21C_1 \cdot 2b[w^2 + (w \cdot Z)^2] \cos(\gamma + 90^\circ) wZ, \quad (3.12)$$

Бұл әрқайсының ені b екі қалақшаны дамытатын қуат (тек олардың бірлік ұзындығының ұштары δ , яғни бұл жағдайда профильдердің ауданы $2b\delta$, бірақ $\delta = 1$ болғандықтан, біз оны ескермейміз).

Бейтс-Жуковскийдің айтудынша, идеалды жел қондырғысы үшін қуат тең:

$$P = 0,59 \cdot 0,5 \cdot 0,21A \cdot w^3, \quad (3.13)$$

біз тек бірлік ұзындығының ұштарын қарастырамыз, сондықтан:

$$A = \delta \cdot 2\pi \cdot r = 2\pi \cdot r \quad (3.14)$$

мұндағы r -жел қондырғысының радиусы, ал $\delta=1$. Демек, бұл қуаттар тең болуы керек, яғни:

$$0,5 \cdot 1,21C_1 \cdot 2b[w^2 + (w \cdot Z)^2] \cos(\gamma + 90^\circ) wZ = \\ 0,59 \cdot 0,5 \cdot 0,21A \cdot w^3, \quad (3.15)$$

енді C_1 профилімен және алдын – ала есептелген Z және r көмегімен біз қалақшаның ұшының b енін оңай табамыз.

Жел қондырғыларының әртүрлі түрлерін қарастырайық. Бір және екі қалақшалы жел қондырғылары, олардың барлық механикалық кемшіліктеріне қарамастан, ең жоғары тиімділікке ие - 44-42% ауданында, үш қалақшалы - ауданда 40%, 5-6 қалақшалы - 38%, көп қалақшалы төмен жылдамдықты 36% -

дан аспайды - бұл сандар есептелмеген, олар жел қондырғыларын салудың көпжылдық тәжірибесінен алынған, сондықтан олардың дәлдігі ең жоғары - олар жылдар бойы сынады.

Жуковскийдің шегінің орнына бұрын алынған тендеуде біз нақты санды қоямыз, мысалы, үш қалақшалы үшін 0,59 орнына 0,44 алмастырамыз, яғни біз тендеуді аламыз:

$$0,5 \cdot 1,21C_1 \cdot 2b[w^2 + (w \cdot Z)^2] \cos(\gamma + 90^\circ) wZ = \\ 0,44 \cdot 0,5 \cdot 0,21A \cdot w^3, \quad (3.16)$$

b' - ді оңай алатынымыз түсінікті. b' - бұл идеалды жел қондырғысының минималды ені, ол шексіз және индуктивті шығынсыз жұмыс істейді, бірақ нақты коэффициентпен немесе басқаша айтқанда, егер біз нақты жел қондырғысын салсақ, онда қалақшалардың ұштары b' еніне ие болады, содан кейін тиімділік жоғалту салдарынан 44%-дан төмен болады, бірақ бұл шығындар өте аз болады, өйткені қалақша b' - ге қарағанда жұқа болады. Салу мағынасы жоқ. Шындық, қалақшаның нақты ұшы b' және b арасында болады. b және b' бір-бірінен тек 25% -ға ерекшеленеді, яғни жоғары сапалы профиль үшін бұл бірнеше миллиметр болуы мүмкін. Жалпы алғанда, сіз жоғалту тендеулерін шығарып, бірнеше итерация жасай аласыз және белгілі бір профиль үшін ені үшін орынды таба аласыз – егер сіз осы шектерде жатқан кез-келген ені өте төзімді тиімділікпен жұмыс істейтін компьютерлерді қолдана отырып, сандық әдістерді қолдансаныз, бұл талдаудың дәлдігі жоғары болады.

Сі тек шабуылдың бұрышына ғана емес, сонымен қатар профиль жұмыс істейтін Рейнольдс санына да байланысты, әр жел мен жел қондырғысының айналу жылдамдығы үшін сізге қалақшаның басқа ұшы қажет. Аэродинамикалық профильдің айналасындағы ауаның ағымын зерттеп, көтеру күштері мен фронтальды қарсылықты өлшей отырып, Рейнольдс саны (re деп аталады) деп аталатын белгілі бір үлгі табылды.

$$Re = V \cdot D / \nu \quad (3.17)$$

мұндағы V (м/с) – профиль бойындағы ауа ағынының жылдамдығы,
 D (м) ауа ағатын профильдің тән ұзындығы (біз хорданы немесе енін аламыз),
 v -ауаның кинематикалық тұтқырлығы оны тұрақты және $v=1,56 \cdot 10^{-5}$ (м²/с) тең деп есептейміз.

Егер өлшемді тексерсек, онда бәрі қысқартылып, дерексіз мән алынады. Осылайша, профильдерді масштабтауға болатын белгілі бір мән бар. V тұрақты болғандықтан және бірдей көтеру күшін алу үшін Рейнольдстың бірдей саны қажет, ол кезде $V \cdot b = V' \cdot b'$ аламыз, сәйкесінше, $b'/b = k$, қалақша хордасы k есе кең.

Жаңа жел қондырғысында қалақшаның ұшында басқа Z саны болады. Бүкіл жел қондырғысының қалақшасының ұшы $\omega \cdot r$ жылдамдықпен қозғалады (ω –

бұрыштық жылдамдық), егер қазір жаңа радиус r -ден аз болса, онда жаңа сзығыстық жылдамдық $\omega \cdot r -$ ден r/r' есе аз болады (r' - жаңа радиус).

Егер бізде сонында N жылдамдығы бар қалақша болса, онда оны N тең бөліктерге бөліп, $N, n-1, n-2$, жылдамдығы бар нүктелерді аламыз 1, емле бұрышы мен профиль ені түрғысынан оңай жобаланады.

Профильдің берілген жеріндегі енін есептеу үшін, бетс шегінен индуктивті шығындарға дейін, біз қондырғының жұмысы кезінде пайдалы энергия әкелмейтін қалақшаның түбірлік (кесек) бөлігін алып тастаймыз, өйткені бұл бөліктегі айналу жылдамдығы кез-келген аэродинамикалық профиль үшін тәмен.

Үш жүзді жылдам жел қондырғысы үшін бұл пайдасыз бөліктің ұзындығы радиустың 30-35% құрайды. Бұл қондырғының сыпырылған беті диск емес, ауданы дисктен $10-12\%$ - да кем кесінді екенін білдіреді ($0.35 * 0.35 \sim 0.12$). Осылайша $59\% - 12\% = 47\%$, біз үш қалақшалы пропеллердің тиімділігі шамамен 42% екенін білеміз, сондықтан соңғы шығындар шамамен 5% құрайды. Бұл сан өте қисынды, индуктивті шығындарды параллель есептеуден $5-7\%$ алынады, сондықтан б профилінің енін есептеу үшін $59-7=52\%$ алу керек – бұл бір рет, ал екіншісі – Бетс-Жуковскийдің идеалды жел қондырғысының шегі жел қондырғысына өте жақсы сәйкес келеді. Сондықтан жел қондырғысын оңтайлы пайдалану үшін генераторға қатысты қалақшаның орналасуы мен бұралуын дұрыс пайдалану керек.

Қалақшаның геометриялық өлшемдерін бұрау мен тарылтусыз есептеу. Бұрын олар идеалды қалақшалар орталықтан радиустың 30%-на тең, барлық энергияның 4% - дан азын шығарады, ал қалақшаның білікшесінің 40% - ы желдің жылдамдығы мен сәйкесінше Рейнольдс санына байланысты пайдаланбайды деген қорытындыға келді. Осы мәселеге байланысты есептеулер қалақшаның жоғарғы жартысының деректерін пайдаланып жүзеге асырылады.

Қалақша профилінің шабуыл бұрышын жел ағынымен өзгерту арқылы біз осы бұрышқа сәйкес келетін күш пен осы күштің бағытын аламыз. Оны тригонометриялық функцияны қолдана отырып, жел қабылдағыштың иық қалақшаларының айналу жазықтығына жобалап, біз осы күштің пайдалы компонентін аламыз.

Профиль хордасы мен жел қондырғысының жазықтығы арасындағы бұрыш емле бұрышы деп аталады.

Профильге және осы профильдің айналмалы жылдамдығына әсер ететін күштің пайдалы компоненті туралы мәліметтерді қолдана отырып, біз жел ағынының қуатын есептейміз.

Бетс шегінің теңдеуі бойынша қалақша профилінің енін есептеу үшін біз осы концентрлік белдеудегі жалпы қуатты есептейміз, оны жоғарыда есептелген жел ағынының жалғыз қуатына бөлеміз. Қалақша профилінің енін біле отырып, Рейнольдс санын есептейміз. Содан кейін біз полярларға ораламыз, коэффициенттерді түзетеміз және қалақша профилінің бірлік қуатын есептеуді қайтадан жасаймыз. Осылайша, біз серия біріктілгенге дейін жасаймыз. Осылайша, біз қалақша профилінің енін аламыз. Содан кейін келесі концентрлік

белдеуге өтіп, жоғарыда жасалған операцияларды қайталай отырып, оның енін де табамыз. Біз бұл операцияларды жел қондырғысының барлық концентрлік профиль белдіктерінің енін есептегенге дейін орындаімымыз. Егер профильдің әртүрлі бөлімдеріндегі ені бірдей болмаса, онда емле бұрышын өзгертіп, бірдей деректерді алғанға дейін есептеуді қайта жасаңыз. Есептеу Exsel математикалық кестелерінің көмегімен жүзеге асырылады. Есептеу жылдамдығы $Z=5$ және диаметрі $D=1.4$ м болатын үш қалақшалы жел қондырғысы үшін жасалады (4.1-кесте).

3-кесте - Үш қалақшалы жел қондырғысы үшін Рейнольдс санын есептеу

A	B	C	D	E	F	G	H	I	J
	Z	r	α	β	γ	F_a	b	Re	$Re_{расч}$
0.083333	0.41667	0.1	3	64.38014	64.380		-		-
0.166667	083333	0.2	3	47.19443	47.194		-		-
0.25	1.25	0.3	3	35.65981	35.659		-		-
0.33333	1.66667	0.4	3	27.96376	27.963		-		-
0.41667	2.08333	0.5	3	22.64101	22.641		-		-
0.5	2.5	0.6	3	18.80141	18.801		-		-
0.583333	2.91667	0.7	3	15.92464	15.924		-		-
0.666667	3.33333	0.8	3	13.69924	13.699	0.1335	0.145	200000	234798
0.75	3.75	0.9	3	11.93142	11.931	0.1287	0.122	200000	220112
0.833333	4.16667	1	3	10.49573	10.495	0.1105	0.117	250000	233543
0.916667	4.58333	1.1	3	9.308016	9.308	0.0866	0.125	250000	273402
1	5	1.2	3	8.309932	8.309	0.0710	0.130	350000	307846

Есептеу кестесінде γ баған – біз болжайтын қалақшаның емле бұрышы, r -тамырдан қалақшаның радиусы, Re - Рейнольдстың болжамды саны, g -тексеруден кейін алғынған Рейнольдстың есептелген саны (егер Рейнольдстың болжамды және есептелген саны 30000-нан аспаса, қалақшаның енін есептеу аяқталды деп санаймыз), Z -жылдамдық әрбір радиустағы қалақтар, β -пайда болатын жел мен жауырын жазықтығы арасындағы бұрыш, α -шабуыл бұрышы, F_a -пайда болатын аэродинамикалық құштің пайдалы құрамдас бөлігі (оны жеке кестеде қарастырамыз), b – профильдің осы бөліміндегі қалақшаның ені.

Re санын да орнатамыз, басқа кестеден F_a енгіземіз-қалғанының бәрі автоматты түрде есептеледі. Бастама үшін 4.2-кестеге сәйкес 1 м қимасындағы F_a пайдалы аэродинамикалық компонентін есептейміз. 4.2-кестеге сәйкес $\beta = 13,5^\circ$ бұрышы, біз бұл бұрышты келесі кестенің қызыл өрісіне көшіреміз.

Re мәндері болжанғанға жақын, ал $\gamma \approx 3^\circ$, ал $\alpha = 10-11^\circ$ -ге сәйкес келетін жол деректерін көшіреміз. Нақты $\gamma = 3^\circ$ мәні жоқ, 3.5 және 2.5 бар, сондықтан сызықтық интерполяция әдісімен дәл мән және оны есептеу кестесіне енгіземіз, кесте алғынған енге сәйкес келетін Рейнольдс санын автоматты түрде есептейді –

$Re_{\text{расч}} = 233543,1772$, болжамалы $Re=250000$, айырмашылық 30 000-нан аз, бұл шартты қанағаттандырады.

Негізгі кестедегі өзгерістерді қарастырайық.

Кестеге сәйкес біз қалақша профилінің хордасындағы өзгерістерді көреміз, яғни заклинание бұрышына түзетулер енгізу керек. Біз бұрышты $0,5^\circ$ -ге өзгертеміз және емле бұрышы үшін $2,5^\circ$ -ге қайта есептейміз.

3.1-кесте - Бұрышты есептеу

A	B	C	D	E	F	G	H	I	J	K	L	M	N	O
α	0	1	2	3	4	5	6	7	8	9	10	11	12	13
β	13.5	12.5	11.5	10.5	9.5	8.5	7.5	6.5	5.5	4.5	3.5	2.5	1.5	0.11
60000	-	-0.09	-0.1	-0.09	-0.08	-0.06	-0.04	-0.02	0.01	0.03	0.09	0.06	0.12	0.20
10000 0	-	-0.05	-0.08	-0.08	-0.07	-0.06	-0.03	-0.01	0.01	0.04	0.09	0.08	0.16	0.21
12000 0	-	-0.04	-0.07	-0.08	-0.07	-0.05	-0.03	-0.01	0.01	0.04	0.09	0.08	0.16	0.20
14000 0	-	-0.03	-0.06	-0.07	-0.07	-0.05	-0.03	-0.01	0.01	0.05	0.09	0.08	0.16	0.20
20000 0	-	-0.03	-0.04	-0.06	-0.06	-0.05	-0.03	-0.01	0.01	0.05	0.09	0.08	0.16	0.20
25000 0	-	-0.03	-0.04	-0.05	-0.05	-0.05	-0.03	-0.01	0.02	0.05	0.09	0.09	0.16	0.20
30000 0	-	-0.02	-0.04	-0.05	-	-0.05	-0.03	-0.01	0.02	0.05	0.09	0.09	0.17	0.21
35000 0	-	-	-0.04	-0.05	-0.05	-0.04	-0.03	-0.01	0.03	0.05	0.09	0.09	0.17	0.21
40000 0	-	-0.02	-0.04	-0.04	-0.05	-0.04	-0.03	-0.01	0.02	0.06	0.09	0.09	0.18	0.22

Бұл кестедегі профиль хордасы іс жүзінде өзгермейді. Біз ені 10 см, заклинание бұрышы $2,5^\circ$, ұшынан құйрығына дейін ұзындығы 0,9 м болатын жел қондырғысының қалақшасын аламыз. Шын мәнінде, бұл қалақшалы жел қондырғысының өлшемі.

Қорытындылай кетсек жалпы бұл бөлімде математикалық модель жасалды және жел қондырғысының қалақшаларының геометриялық өлшемдері есептелді. Зерттеу барысында ені 10 см, емле бұрышы $2,50$, ұшынан ұшына дейінгі ұзындығы 0,9 м болатын қалақшалар алынды.

3.2-кесте - Үш қалақшалы жел қондырғысы үшін Рейнольдс санын қайта есептеу

A	B	C	D	E	F	G	H	I	J
	Z	r	α	β	γ	F_a	b	Re	Репасч
0.083333	0.41667	0.1	3	67.38014	64.880		-		-
0.166667	083333	0.2	3	50.19443	47.694		-		-
0.25	1.25	0.3	3	38.65981	36.159		-		-
0.333333	1.66667	0.4	3	30.96376	28.463		-		-
0.41667	2.08333	0.5	3	25.64101	23.141		-		-
0.5	2.5	0.6	3	21.80141	16.424		-		-
0.583333	2.91667	0.7	3	18.92464	15.924		-		-
0.666667	3.33333	0.8	3	16.69924	14.199	0.1335	0.145	200000	234798
0.75	3.75	0.9	3	14.93142	12.431	0.1287	0.122	200000	220112
0.833333	4.16667	1	3	13.49573	10.99	0.1105	0.117	250000	233543
0.916667	4.58333	1.1	3	12.308016	9.808	0.0866	0.125	250000	273402
1	5	1.2	3	11.309932	8.808	0.0710	0.130	350000	307846

3.3 -кесте - Үш қалақшалы жел қондырғысы үшін профильді есептеу

A	B	C	D	E	F	G	H	I	J
	Z	r	α	β	γ	F_a	b	Re	Репасч
0.083333	0.41667	0.1	2.5	67.38014	64.880		-		-
0.166667	083333	0.2	2.5	50.19443	47.694		-		-
0.25	1.25	0.3	2.5	38.65981	36.159		-		-
0.333333	1.66667	0.4	2.5	30.96376	28.463		-		-
0.41667	2.08333	0.5	2.5	25.64101	23.141		-		-
0.5	2.5	0.6	2.5	21.80141	16.424		-		-
0.583333	2.91667	0.7	2.5	18.92464	15.924		-		-
0.666667	3.33333	0.8	2.5	16.69924	14.199		-	200000	-
0.75	3.75	0.9	2.5	14.93142	12.431	0.1560	0.100	200000	181547
0.833333	4.16667	1	2.5	13.49573	10.99	0.1260	0.103	200000	204779
0.916667	4.58333	1.1	2.5	12.308016	9.808	0.1016	0.107	250000	233002
1	5	1.2	2.5	11.309932	8.808	0.0850	0.108	250000	257239

3.1 Жел энергетикалық қондырғыларды орналастыру

Дәстүр бойынша, ірі жел энергетикасы қондырғылары бірнеше себептерге байланысты тұрғын үйлерден біршама қашықтықта орналасады:

- адам мен жануарлардың жарақаттану қаупі төмендейді;

- ЖЭК жұмысының адам ағзасына әсерін береді;
- ЖЭК-ны қала шегінде бөлу кезінде жердің тапшылығы мен қымбаттығы Жел энергетикалық қондырғысының рентабельділігін төмендетеді.

Алайда, жел электр станцияларын қашықтан бөлу бірқатар проблемаларды тудырады:

- электр энергиясын қорғалмаған шығындармен байланысты үлкен шығындарға беру;
- адамның вандализмінен және жабайы жануарлардың араласуынан қорғау мәселелері туындайды;
- жергілікті жерлердегі қажетті жабдықтардың әрекетсіздігінен ЖЭК-на қызмет көрсету қынадайды;
- тарату қашықтығымен ЖЭК монтаждау, жөндеу және қызмет көрсету құнын растайды, яғни пайдалану шығындарын тудырады.

Егер қауіпсіздік талаптарын қанағаттандыратын жел энергетикасы қондырғылары тұрғын елді мекендерге жақын немесе олардың инфрақұрылымына тікелей орналастырылса, біздің ойымызша, жоғарыда аталған мәселелер ішінәра алынып тасталуы мүмкін. Біз бұл тапсырма қала және жеке тұрған ғимараттар жағдайында техникалық тұрғыдан орындалуы әбден мүмкін деп есептейміз. Жел қондырғыларын ғимараттардың шатырларына, желдің тұрақты тартылу орындарына, туннельдерге және т. б. орнатуға болады.

Бұл, бір жағынан, электр энергиясының бірқатар қосымша көздерін жасайды, ал екінші жағынан, қала ішіндегі жел ағынын азайтады, бұл тұтастай алғанда осы қондырғыларды енгізуін өңерлеуден болады.

Мұндай үрдістер Ресейде байқалады. Мысал ретінде 2006 жылдың 5 шілдесінде Мәскеуде қабылданған "Мәскеу қаласындағы Энергия үнемдеу туралы" № 35 Зан болады . Заңың негізгі мақсаты-Мәскеу экономикасы үшін қол жетімді барлық шаралармен, соның ішінде балама энергия ресурстарын енгізу арқылы энергия тұтынудың өсуін болдырma.

Ресейдің әртүрлі аймақтарындағы, соның ішінде Мәскеу, Челябинск және басқа қалалардағы климаттың өрекшеліктерін ескере отырып, баламалы энергия көздерінен тек жел энергиясына сенуге болады. Сонымен қатар, мұндай мегаполистерде жел қондырғыларын орналастыруға орын жоқ. Осылайша, жел қондырғыларын орналастыруға арналған орындар тұрғын үй, кеңсе және өндірістік ғимараттардың төбелері болуы мүмкін, олар тиісті шектеулермен, нақтылаулармен және әдістермен бұл диссертациялық жұмысты анықтау жоспарлануда. Сонымен қатар, осы жұмыста сипатталған әдістер ауа-райының теріс әсерін рұқсат етілген шектерге дейін азайтады, бұл оларды қолдануды кеңейтеді және бұл қондырғыларды қала ішінде енгізу үшін жаңа перспективалар ашады. Дегенмен, жел энергетикасы қондырғысына тән бірқатар факторлардың қоршаған ортаға және адам денсаулығына қолайсыз әсері туралы ұмытпау керек.

Жұмыс барысында тіпті жұмыс істейтін жел энергетикасы қондырғысы механикалық, электромагниттік және дыбыстық тербелістердің барлық спектрін жасайды (5.1 сурет.):

- Компоненттердің механикалық шуы негізінен мультиликатор (беріліс қорабы) және мойынтректер процесінде пайда болады. Зерттелетін қондырғыда мультиликаторсыз өстік саңылауы бар тұрақты магниттерде төмен жылдамдықты генератор қолданылады. Яғни мойынтректерден шығатын Шу зерттеуге жатады. Зерттеу өлшеу арқылы жүргізілуі керек;

- Аэродинамикалық шу ая ағынының элементтеріне, негізінен қалақшаларға, траверстерге, экрандарға қысым мен үйкеліске байланысты пайда болады. Сонымен қатар, әр қалақша пен траверс ауыспалы жүктемені сезінеді, соның арқасында механикалық шу да пайда болуы мүмкін. Аэродинамикалық шу өлшеу арқылы зерттеледі;

- Аэродинамикалық ультрадыбысты шағын және/немесе жұқа ЖЭҚ элементтерімен, мысалы, кабельдік созулармен, кронштейндермен, экрандармен, болт қосылыстарының бекіткіштерімен жасауға болады.



3-сурет - Қоршаған ортаға, адамның денсаулығы мен әл-ауқатына теріс әсер ететін жұмыс істеп тұрған жел энергетикалық қондырғының (ЖЭҚ) параметрлері

- Электромагниттік тербелістер генератор орамаларының магнит өрісінде айналуына және орамаларда электр қозғаушы күштің пайда болуына байланысты пайда болады. Бұл параметр өлшеу арқылы зерттеледі;

- Аэродинамикалық инфрадыбыс қалақтардан ағынның үзілуі, жел ағынның ЖЭҚ артындағы турбуленттілігі есебінен пайда болады және өлшеу арқылы зерттеледі.;

- Механикалық инфрадыбыс жел қондырғысы хабының айналмалы бөліктерінің жұмысы кезінде тиісті гармониканың пайда болу процесінде үйкелетін беттердің жетілмелегендігіне, айқын және жасырын ақаулар мен теңгерімсіздіктерге байланысты қалыптасады;

- Тербелістер жел энергетикасы қондырғысының жұмысы барысында сыртқы бұзушы күш әсерінің, компоненттердің бір-біріне ішкі өзара әсерінің, айналатын бөлшектердің теңгерімсіздіктерінің, қалақтар мен діңгектердің иілу тербелістерінің әсерінен пайда болады. Вибрация нәтижесінде Шу мен инфрақызыл пайда болады. Егер бұзылу әсерінің тербелістерінің гармоникасы компоненттердің табиги тербелістерінің гармоникасымен және/немесе компоненттер жүйесінің реакциясымен сәйкес келсе, резонанс болуы мүмкін.

Қоршаған орта мен адам денсаулығына теріс әсер ететін ЖЭҚ параметрлерін талдау мынадай қорытындыға әкеледі:

- Теріс процестердің пайда болуының негізгі көзі-бұл ЖЭҚ процесінде болатын бірқатар физикалық процестердің әрекеті мен өзара әсерінен пайда болатын тербелістер. Осылайша, негізгі және туынды теріс параметрлердің қоршаған ортаға әсерін азайтудың негізгі міндеті-тербелістерді стандарттар мен нормалармен анықталған деңгейге дейін төмендету, ал туынды теріс процестердің пайда болу мүмкіндігінің болмауына кепілдік беру.

- ЖЭҚ-нің қалған параметрлері Қолданылатын стандарттар мен нормалардың қанағаттанушылығын бағалау мақсатында өлшенуі тиіс, қажет болған жағдайда кейіннен конструкторлық пысықталады.

Жел энергетикасы қондырғысы оның параметрлерінің стандарттар мен нормалар талаптарына қанағаттануы түрғысынан бағалануы тиіс.

3.2 Елді мекенедерде жел энергетикасы қондырғыларын желіде орналастыру мәселелелері және оларды шешудің ықтимал жолдары

3.2.1 Шу мәселесін шешудің мүмкін жолдары

Жел энергетикасы қондырғылары әсіресе тартымды, өйткені оларды басқа энергия көздері жоқ жерде тез орнатуға болады. Алайда, жел агрегаттарының жұмысы көбінесе бірқатар жағымсыз құбылыстармен бірге жүретінін атап өту керек.

ЖЭҚ-нің адам мен жануарлар ағзасына әсері әлі жақсы түсінілмеген. Зерттелген әдебиеттерге сәйкес бірқатар горизонталь өсті қондырғылар (дәстүрлі "пропеллерлер") негізгі зерттеулерге ұшырады. Жел қондырғылары шығаратын және адамның құлағын қабылдау ауқымында жатқан Шу жел турбинасының негізгі теріс факторларының бірі болып табылады. V_{c} акустикалық шуының негізгі көздері-гондола, жел тартқышы (V_{c}) немесе ротор, қалақшалар мен діңгектер.

Мысалы, горизонталь айналу өсі бар қуаттылығы 850 кВт болатын жел донғалағының осі деңгейінде шу деңгейі 104 дБ құрайды. Шабуыл бұрышын басқару жүйесі оны азайтуға қабілетті, бірақ өте аз. 300 м қашықтықта Шу 42-45 дБ дейін төмендейді. Бұл сізге Ллойдтың талаптарына сәйкес Еуропада қабылданған түрғын үйге салыстырмалы түрде жақын орналастыруға мүмкіндік береді.

Инженерлік механика зертханасында (Ибараки, Жапония) жел жылдамдығы 8 м/с кезінде диаметрі 15 м жел донғалағымен қуаты 15 кВт ЖЭҚ акустикалық сипаттамаларына зерттеулер жүргізілді.

Генератордың білігі оның негізінен 1,0; 6,5 және 13 м биіктікте фланецті қосылыстары бар цилиндрлік металл мұнарада тігінен орналасқан.

Мұнараның табиғи жиіліктерін және жұмыс істеп тұрған әуе кемесінің акустикалық сипаттамаларын өлшеу жел донғалағының білігінің айналмалы тербелістеріне байланысты шу деңгейінің ауытқуы бар екенін көрсетті. Бұл беріліс білігінің тербелісі төмен жүктемелерде пайда болады.

Оның шу деңгейін анықтайтын факторлар беріліс түрі, жұмыс жағдайлары, конструкциясы, өнімділігі, орналасуы болып саналады. Әдетте осындай ЖЭҚ үшін қолданылатын планетарлық берілістің акустикалық шу деңгейін берілетін қуат функциясындағы эмпирикалық формула бойынша есептеуге болады.

Қуаты 2 МВт (Германия) горизонталь өсті ЖЭҚ-та тікелей жақын жерде өлшенген шу жынтығы 102,2 дБ(А) құрайды.

- гондола - 55 дБ,
- ступица - 47 дБ,
- қалақтар - 49 дБ,
- мұнара - 29 дБ.

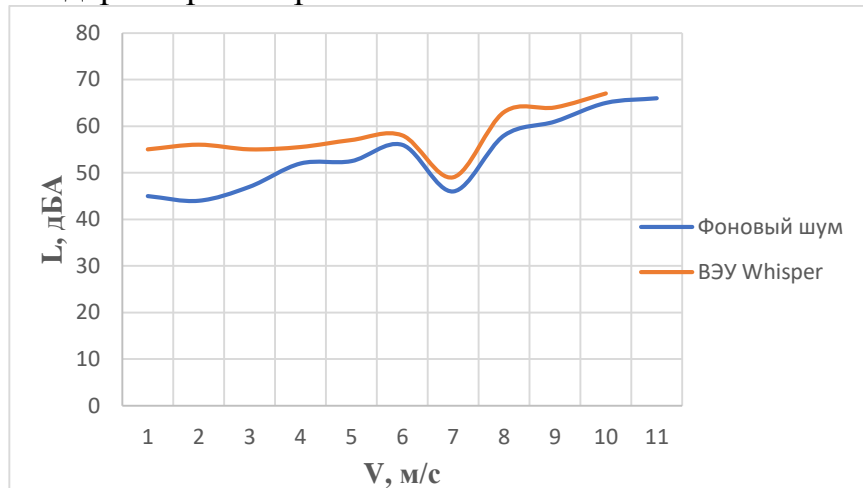
3.4-кесте - Мачта негізіндегі шағын және орташа қуатты ЖЭҚ шуының деңгейі

ЖЭҚ	Желқондырығының диаметрі, м	Қуаты, кВт	Желдегі (соғып тұрғанда) дыбыстық қуат 8 м/с, дБ(А)
Ampair 100	0,91	0,1	80
Air 403	1,17	0,4	80
Whisper H40	2,13	0,9	85
BWC 850	2,44	0,85	92
Calorius	5	4,6	88
Gaia	7	6,5	88
Genvind	12,6	23,7	103
Kolibri	12,8	19,1	107
Furidnder	13	30	93
Gaia	13	11,6	89
Pitchwind	14	30	92
Enercon E30	30	200	95

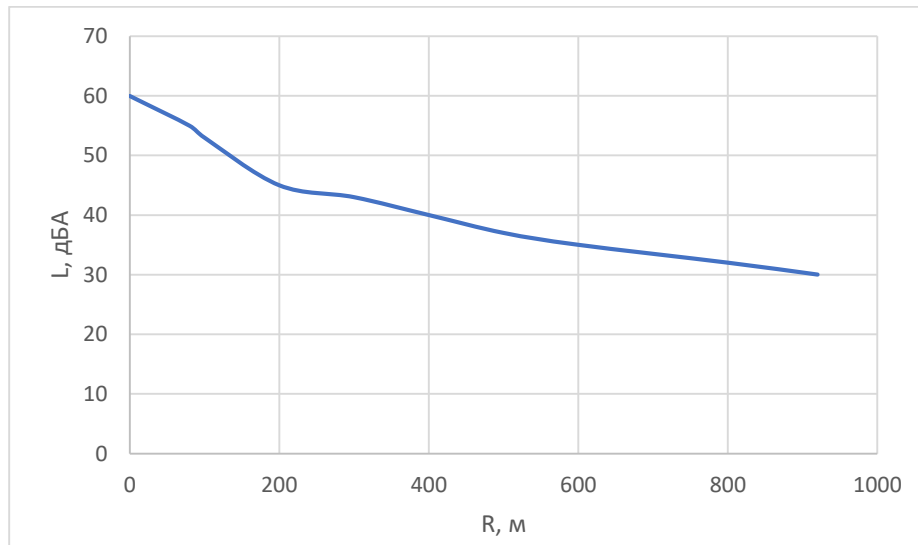
Өлшеулер жер деңгейінде мұнарадан желдің бағыты бойынша 115 м нүктеде жүргізілді. Көріп отырғанызыздай, салыстырмалы түрде қүшті сәуле ВК хабынан шығады. Бұл жұмыс мойынтрегінің сыртқы бөлігі болып табылады

және болаттан жасалған. Мұнараның сәулеленуі салыстырмалы түрде аз, өйткені ол күштілген бетоннан жасалған. Айта кету керек, көрсетілген компоненттердің логарифмдік қосылуында 56 дБ(а) жалпы шу ең қарқынды компонентті анықтайды.

3.4 - кестесінде және 3.1-3.2-суреттерде мысал ретінде әртүрлі жел қондырыларының шу сипаттамалары және олардың жел жылдамдығына, жел қондырығысына дейінгі қашықтыққа, жел қондырығысының қуатына және т.б. тәуелділігі туралы деректер келтірілген.

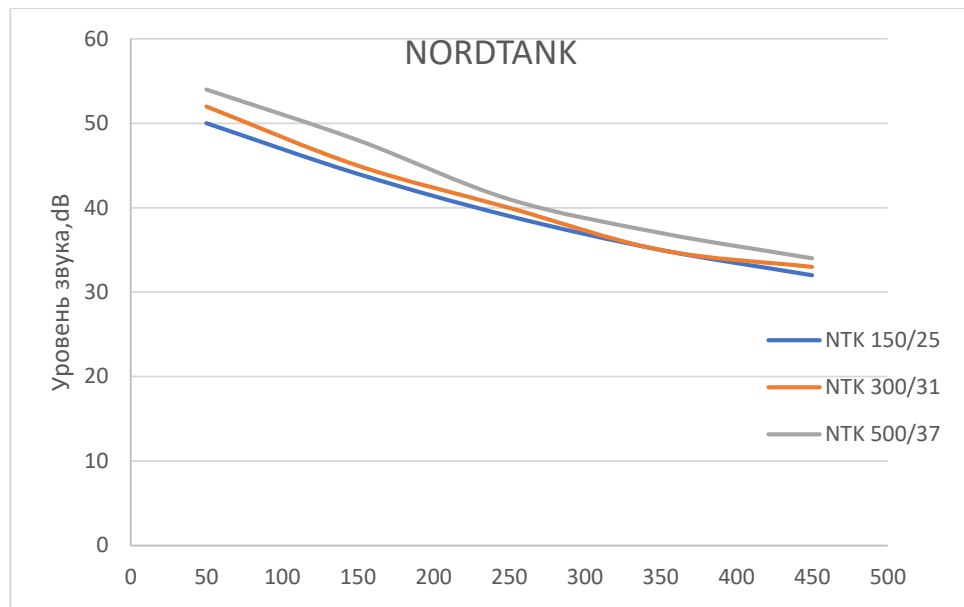


3.1 -сурет - Жер деңгейінде мұнара түбінен 10 м қашықтықта желдің жылдамдығына Whisper 40 ЖЭК шу деңгейінің тәуелділігі

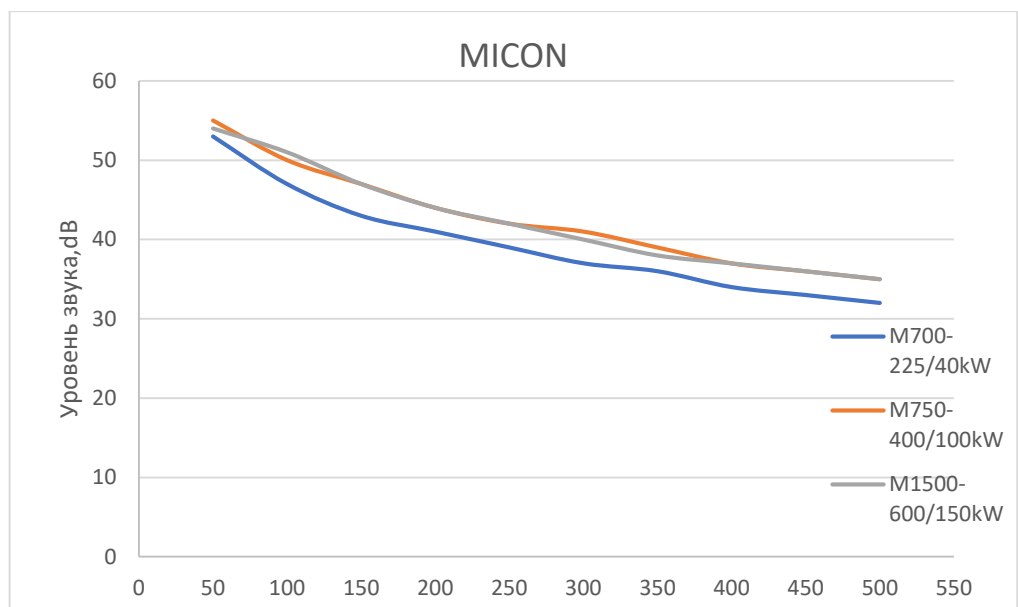


3.2 -сурет - Қазіргі заманғы ЖЭК шу деңгейінің жер деңгейіндегі мұнара негізінен қашықтыққа тәуелділігі

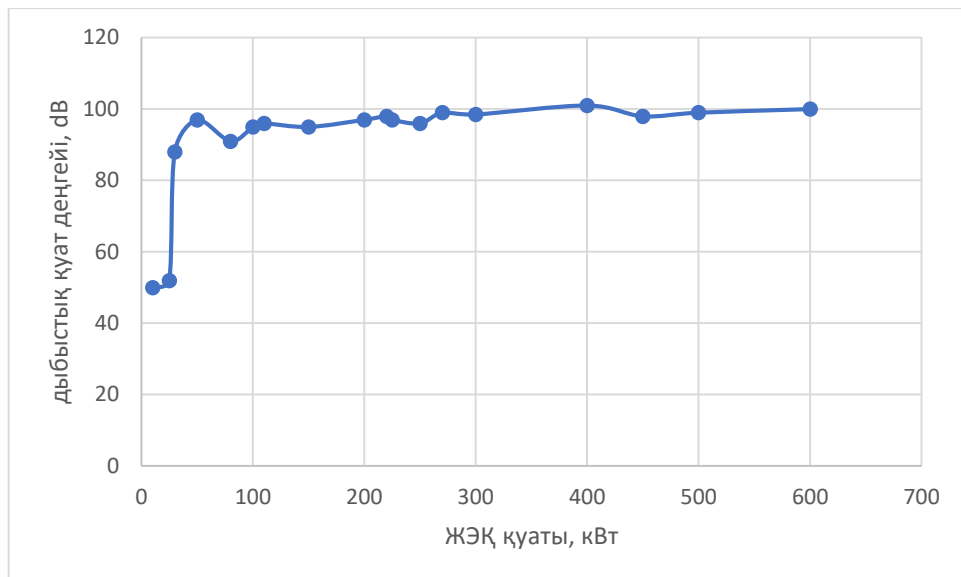
ЖЭК орналасқан жеріне және жергілікті жердің ландшафтына (төбелер, ормандар және басқа да кедергілер) байланысты келтірілген қашықтықтар едәуір аз болуы мүмкін. Төменде ірі жел қондырыларының бірқатар шу сипаттамалары келтірілген.



3.3 -сурет - NORDTANK жел қондырғысының шыныл сипаттамалары



3.4 -сурет - MICON жел қондырғысының шыныл сипаттамалары



3.5 -сурет - Мұнара негізіндегі дыбыстық қуат деңгейінің әртүрлі фирмалардың жел электр станциясының қуатына тәуелділігі

Графиктерге сүйенсек, қолданылатын шуды сініретін (шуды оқшаулайтын) элементтердің тиімділігі жеке қондырғыларды түрғын үйге немесе түрғын үй объектілеріне жақын орналастыруға мүмкіндік береді.

Осылайша, жел энергетикасы қондырғыларын тиісті сипаттамаларға сәйкес саралау және қолданыстағы стандарттардың талаптарын нақтылау туралы қорытынды жасалады.

ЖЭК-ның жеткілікті жүктемесі қосылған кезде шу деңгейінің ауытқуы байқалмағаны белгілі, яғни ВК білігінің айналмалы тербелісі жоқ.

Мультиплікатор ЖЭК жүйесінен шығарылуы мүмкін. Бұл жағдайда механиканың (және гидравликаның) акустикалық шу мәселесі өздігінен жоғалады. Дұрыс жұмыс істемейтін генератор мен электр жабдықтарының шу маңызды емес және оларды елемеуге болады.

Жалпы алғанда, редукторды құрылғыдан алып тастағанда, жел қондырғысының біркелкі жұмыс істемеуіне байланысты пайда болатын айналу моментінің тербеліс жиілігімен біліктің бұралу тербелістерінің табиғи жиіліктерінің резонансының пайда болу мүмкіндігі алынып тасталады. Осылайша, діріл, демек шу да, бұл жағдайда жоқ. ЖЭК жүйесінде редукторлардың болуын болдырмай үрдісі соңғы 30-40 жыл ішінде байқалады.

Жарты ғасырдан бері белгілі болған осы ескертулерді ескере отырып, бірқатар заманауи жел қондырғыларында мультиплікатор жоқ, олардың гондолаларының конструкциясында тиімді дыбыс өткізбейтін және дыбыс сініретін материалдар қолданылады.

Осындай ЖЭК шуының негізгі құраушысы жел қондырғыларының қалақтары шығаратын аэродинамикалық шу болып табылады. Горизонталь өсті жел қондырғылары қалақтарының нүктелерінің сыйықтық жылдамдықтарының айырмашылығына байланысты дыбыстық (соның ішінде инфрадыбыстық) тербелістер жасалады.

Олардың төмен жиілікті компоненті кейбір ерте жел қондырғыларының жобалары үшін проблема болды, ейткені олардың тірі организмдерге теріс әсер еткені байқалды. Алайда, бұл кемшілік 20-30 жыл бұрын (яғни XX ғасырда) бірқатар инженерлік шешімдермен жеңілді.

Аэродинамикалық шу қалақтарды тиісті пішіндеу, жел донғалағының айналу жылдамдығын және оның желге бағдарлану механизмін таңдау (горизонталь өсті қондырғылар үшін) арқылы да төмендетілуі мүмкін.

3.5 -кесте - Эртүрлі құрылғылардан шу деңгейі (дБ)

Реактивті ұшақтың ұшуды	120-140
Пневматикалық перфоратор	100
Бөлшектерді механикалық өндіреу	100
Куаты жоғары ЖЭҚ мұнарасының түбіндегі шу	95-100
Сондай, 200 метр қашықтықта	40-45
Газонокосилка	90
Стереосистема	90
Автожолдағы автомобиль қозғалысы	70-80
Машина жазу бюросы	70
Офис	60
Асхана	50
Тоңазытқыштың жұмысы	40
Тұнгі шуыл	30
Сыбыр	20
Жапырақтың тұсуі	10

Тік-өстік қондырғылар үшін аэродинамикалық шу ЖЭҚ деректерінің конструкциясының арқасында ең аз болады. Олардың ерекшеліктері осы жұмыста толығырақ қарастырылады.

3.5 кестеде әртүрлі құрылғылардың шу деңгейі көрсетілген. Осы сипаттамаларды салыстырудан 3.4-кестеде көрсетілгендей, ірі жел турбиналарының Шу сипаттамалары көгал шөп шапқышпен, стерео дыбыспен, автомобиль жолындағы автомобиль қозғалыстарымен бірдей екендігі айқын.

Электрлік және электронды бөліктің шуы маңызды емес және оны елемеуге болады.

3.2.2 Жел қондырғыларында инфрадыбыстың пайда болу проблемасын шешу жолдары

Адамның құлағы қабылдаған акустикалық шуылдан басқа, белгілі бір жағдайларда ЖЭҚ айналасында 3-9 Гц жиіліктегі қауіпті инфрақызыл пайда болады, ол адам ағзаларының табиги тербелістерінің жиілігімен, сондай-ақ мидың альфа ырғағымен және адамдар мен жануарлардың жүрек соғуымен сәйкес келеді.

Себебі, горизонталь өсті жел жұмыс істеп тұрған кезде қалақшаның барлық нүктелері әртүрлі сзықтық жылдамдыққа ие болады. Жылдамдықтың айырмашылығына және ағынның бұзылуына байланысты инфрадыбыс пайда болады (дыбыстық тербелістер 16 Гц-тен төмен, яғни қөпшілік есту шегіне дейін). Бұл жұмыста инфрақызыл оның ерекше қауіптілігіне байланысты терең қарастырылады.

16-20 Гц-тен төмен дыбыстық тербелістердің жиілігі инфрақызыл деп аталауды.

"Инфрадыбыс" лат. *infra* - "төмен, асты" және дыбысқа ұқсас серпімді толқындарды білдіреді, бірақ жиіліктер адам еститін жиілік аймағынан төмен.

Қазіргі уақытта әлемнің әртүрлі елдерінің зертханалық зерттеулерінің нәтижесінде жиілігі мен қуатына байланысты инфрақызыл адамның әртүрлі органдарына теріс әсер ететін анықталды, олар өздерінің тербеліс жиілігімен резонанс тудырады (алайда кейбір өте орташа инфрақызыл жиіліктер үшін қарама-қарсы нәтижелер бар).

Профессор В. Арабажидің "инфрадыбыстар әлемінде" мақаласында жазғандай, "адамның бүкіл денесі үшін резонанс жиілігі орташа есеппен 6 Гц, кеуде үшін 5-8 Гц, іш қуысы үшін 3-4 Гц және Бас үшін 20-30 Гц екендігі анықталды. 4-8 Гц жиіліктерінде күшті тербелістерге ұшыраған кезде адам ішектердің қозғалысын сезінеді, ал 20-30 Гц жиіліктерде бастың шайқалуы сезіледі".

Күшті инфрақызыл тербелістер қан қысымының төменгі шегінің жоғарылауына, жүрек соғу, тыныс алу ырғағының өзгеруіне, есту және көру функциясының әлсіреуіне, бұрын айтылған адамның психикалық жағдайына әсер етуі мүмкін. Инфрадыбыстың ең қауіпті жиіліктері-бұл мидың альфа ырғағына сәйкес келетін 6-7 Гц жиіліктері төмен жиілікті тербелістер. Мұндай жиіліктің инфрақызыл көзінің қуатына байланысты адам мінез-құлқының реакциясы өзгереді, оның ішінде қауіп немесе себепсіз қорқыныш сезімі, дүрбелең қорқынышы немесе қорқыныш сезімі, тіпті ми тамырларының жарылуынан өлім.

Жүрек үшін инфрақызыл резонанстық жиіліктер өте қауіпті. Жануарларға жүргізілген тәжірибелерде олардың жүрек соғу жиілігімен сәйкес келуі оның қан тамырларының жарылуына әкелді. Сондай-ақ, мұндай жиіліктің инфрақызыл тербелісі, бірақ жүрек фазасына қарама-қарсы жүрек жүректі тоқтата алады деген ұсыныстар айтылды.

Планетаның "Өлі" аймақтарындағы қайғылы оқиғалар үшін, олардың себептері ретінде 2-ші және 3-ші дәрежелі трагедия (бұл, сәйкесінше, өлі экипаждары бар кемелер және "ұшатын голландтар"), ең көп дәлелдер ми қыртысы мен жүректің жиырылуы үшін инфрақызыл резонанстық жиіліктердің әсеріне байланысты.

Жануарлардың инфрадыбыстарға да өте сезімтал екендігі белгілі. Әлсіз тербелістерде де олар мазасыздықтың айқын белгілерін көрсетеді. Бұл әсіресе құстарға қатысты. Мүмкін, адам үшін олардың мінез-құлқы ең түсінікті болып көрінуге мүмкін. Әсіресе, олар қауіпті аймақтарды бірінші болып қалдырады.

Проф. в. Арабажи, " кейбір сұтқоректілер инфрадыбысқа үқсас реакцияны анықтайды. Жер сілкінісінен бірнеше сағат бұрын қояндар өсіп келе жатқан инфрақызыл тербелістердің көзінен кетуге тырысады, иттер үйден кетеді, шошқалар шошқалардан қашады". Мұхиттық қеңістіктердің "өлі вибрациямен" жансыздығы да белгілі, бұл су асты және жер үсті әлемінің барлық түрғындарының үқсас реакциясын көрсетуі мүмкін. Бірақ ұзақ уақыт бойы, инфрақызыл проблема пайда болғанға дейін, көптеген теңіз жануарлары, ең алдымен медузалар мен гаммарустар дауыл алдында қалай әрекет ететіндігі байқалды.

Профессор В.Арабажидің сөзімен түйіндей келе: "айтылғандар инфрадыбыстарды келе жатқан дүлей зілзалараптың жақсы сигналайторлары, алыстағы жер сілкіністерінің, жарылыстардың индикаторлары және т. б. ретінде пайдалануға болады деп болжауға мүмкіндік береді". Сонымен қатар, оларды бекітетін құралдарды жануарлар өздерінің реакциясы деп санауға болатындығын қосу керек. Болашақта осы мақсатта тағы бір әмбебап "құрылғы" - адам ағзаларының тербелмелі жүйесі қолданылады деп болжауға болады.

Инфрадыбыстың пайда болуын болдырмаудың мүмкін жолдары:

-қалақтардың, ротордың (гондоланың) және қандай да бір жағдайда және/немесе режимде инфрадыбысты генерациялайтын ЖЭҚ басқа элементтерінің конструкциясын жақсарту (мысалы, горизонталь өсті ЖЭҚ гондоласын бұру кезінде гондола қабыргаларында ағынның бұзылуы туындауы мүмкін, бұл инфрадыбыстың пайда болуына себеп болуы мүмкін). Бұл құбылыстың алдын алу үшін горизонталь өсті жел қондырғыларының гондоласының арнайы есептелген формасы немесе тік өстік қондырғылардың хабының пішіні қолданылады;

- тиісті сенсорлардың қатысуымен жел энергиясын басқару жүйесін жақсарту, бұл, біріншіден, қондырғыны тиісті дыбыстық сенсорлармен жабдықтауға, екіншіден, жүйенің жағымсыз тербелістердің пайда болуына реакциясын тездетуге мүмкіндік береді;

- ЖЭҚ түрғын үй, кеңсе және өндірістік объектілерден алыс орналасуы. Бұл шара, жалпы айтқанда, "шара" емес, Лос – Анджелестің (АҚШ) жанында орналасқан бірқатар американдық өндіруші компаниялар мен ЖЭҚ иелері қолданатын мәселені шешуден аулақ болу тәсілі. ЖЭҚ инфрадыбыс жасайды, айналадағы аудандардың түрғындары бас аурулары мен басқа да бұзылулар туралы шағымдармен хат жазуды тоқтатпайды, ал ЖЭҚ инфрадыбыспен бірге тұрып, электр энергиясын өндіруді жалғастыруда.

3.2.3 Ультрадыбыс

Ультрадыбыс-бұл серпімді ортаның механикалық тербелісі, онда ауыспалы сығымдау және сирету түрінде таралады; жиілігі 16-20 кГц-тен жоғары, адамның құлағы қабылдамайды.

Ультрадыбысты жел қондырғысы жел ағынның қысқа мерзімді атмосфералық турбуленттілігі кезінде, сондай-ақ қалақшада бойлық жарықтар болған кезде немесе оған бөгде заттар жабысқан кезде пайда болуы

мүмкін(жәндіктер, шандар, құстардың қалдықтары және т.б.). Бұл жағдай көбінесе горизонталь өсті қондырғыларда кездеседі, өйткені құстар мен жәндіктер қалақшаның баяу қозғалатын бөлігін (құйрықты) ғана бекітеді және тез қозғалатын ұштың астына түседі, осылайша ультрадыбыстық себеп болуы мүмкін элементтерді қалдырады.

Ауа арқылы жұмыс істейтін адамдардың денесіне жалпы әсерден басқа, төмен жиілікті (НН) ультрадыбыс ультрадыбыстық тербелістер қозғалған өнделген бөлшектер мен орталармен байланыс кезінде жергілікті әсерге ие. Ультрадыбыстың ең үлкен әсер ету аймағында жабдықтың түріне байланысты қолдар бар. Жергілікті әрекет тұрақты болуы мүмкін.

Қуатты қондырғылардың әсері (6-7 Вт/см²) қауіпті, өйткені жанасу орындарында перифериялық жүйке және тамыр аппаратының зақымдалуына әкелуі мүмкін (вегетативті полиневрит, саусақтардың, қолдардың және білектердің кесілуі). Ультрадыбыстың байланыс әсері көбінесе ультрадыбыстық ванналардан бөлшектерді жүктеу және түсіру кезінде орын алады. 1,5 кВт түрлендіргіш қуаты бар ваннаның суына саусақтардың үш минуттық батуы қышу сезімін, кейде қышуды тудырады, ал ультрадыбысты тоқтатқаннан кейін 5 минуттан кейін сұық сезім, саусақтардың үйқышылдық сезімі байқалады. Вибрация сезімталдығы құрт төмендейді, әртүрлі адамдардағы ауырсыну сезімталдығы жоғарылауы немесе төмендеуі мүмкін. Мұндай қондырғыларда ұзақтығы 20-30 с немесе одан да көп болатын айтылған ортамен қысқа мерзімді жүйелі байланыс вегетативті полиневрит құбылыстарының дамуына әкелуі мүмкін.

Ультрадыбыстың ағзаға әсері:

Орталық және перифериялық жүйке жүйесі, жүрек-қантамыр жүйесі, есту және вестибулярлық анализатор тараپынан функционалдық өзгерістер, нормадан эндокриндік және гуморальдық ауытқулар; фронтальды-мұрын орбиталық және уақытша аудандарда басым локализациясы бар бас аурулары, шамадан тыс шаршағыштық; құлақтардағы қысым сезімі, жүрістің белгісіздігі, бас айналу; үйқының бұзылуы (құндіз үйқышылдық); ашушаңдық, гиперакузия, гиперосмия, жарқын жарықтан қорку, қозғыштық шегі мен ауыру шегінің жоғарылауы; шуылмен бірге қарқынды ультрадыбыстық әсер ету жағдайында тамырлы тонустың жеткіліксіздігі (қан қысымының төмендеуі, гипотензия), жарқын вазомоторлық реакциямен бірге тері-тамыр рефлекстерінің тежелуі; жалпы церебральды бұзылулар; әртүрлі дәрежедегі вегетативті полиневрит (сирек және аз) (пастозность, саусақтардың акроцианозы, термоасимметрия, қолғап немесе шұлық түріндегі сезімталдықтың бұзылуы).

Патологиялық өзгерістердің көріну дәрежесі ультрадыбыстың қарқындылығы мен ұзақтығына байланысты; ортамен байланыс және спектрде шудың болуы денсаулық жағдайын нашарлатады.

Жоғары жиілікті (ЖЖ) шуылмен салыстырғанда ультрадыбыстық есту функциясына айтарлықтай әлсіз әсер етеді, бірақ вестибулярлық функция, ауырсыну сезімталдығы және терморегуляция нормасынан айқын ауытқуларды

тудырады. Интенсивті ЖЖ ультрадыбыс қосылғанда беті дене тудырады, негізінен нақ сол бұзушылық, және ТЖ.

Тік-өстік қондырғылар ультрадыбысты тудыратын құбылыстарға азырақ бейім, өйткені біріншіден, горизонталь өсті желге қарағанда баяу қозғалады, екіншіден, қалақшаның барлық нүктелері бірдей жылдамдықпен қозғалады, сондықтан жәндіктер мен құстар жақындал келе жатқан қалақшага реакция жасап, астына түспейді.

ҚОРЫТЫНДЫ

Осы дипломдық жұмысты жүзеге асыру нәтижесінде келесі міндеттер орындалды: - Қазақстан Республикасының жел әлеуетіне шолу жасалды; - жел қондырыларын аяқтау үшін нарықта бар жабдықтар зерттелді; Жұмыста MATLAB аясында горизонталь өсті типті нақты төмен қуатты жел турбинаның имитациялық моделі ұзынылған. Құрамдас бөліктердің математикалық үлгілері негізінде желдің әртүрлі жылдамдықтарында жүктемесіз және жүктеме кезінде жел турбинасы жұмысының процестері зерттелді. Алынған осциллограммалар төмен гармоникалық құрамы бар кернеулер мен токтардың синусоидалы пішіні есебінен тұтынушыларды жоғары сапалы электрмен жабдықтау қамтамасыз етілетінін көрсетеді. MATLAB аясында модельдеу нақты жұмыс жағдайында физикалық модельдің жұмыс қабілеттілігін растайды, алайда жел турбинасы модельінде қалақшалардың радиусы және сәйкесінше осы қалақшаға тән ерекше сипаттамалар ескерілмейтін шектеулер бар. Оның орнына, модель үш қалақшалы жел турбиналары үшін шекті болып саналатын және ауытқулар қарастырылмаған $K_{ev}=0,47$ және $Z=8,1$ жылдамдықты жел ағынын пайдаланудың максималды эмпирикалық коэффициенттерін қамтиды.

ПАЙДАЛАНЫЛҒАН ӘДЕБИЕТТЕР ТІЗІМІ

- 1 Global Wind Energy Council; BP Statistical Review of World Energy, June 2016-36 с.
- 2 Д.Д. Рензо «Ветроэнергетика» – Москва, Энергоатомиздат, 1982.
- 3 Ветровой атлас Казахстана. Проект ПРООН – Астана, февраль 2011.-36 с.
4. С.Г. Парамонов, Методические указания к выполнению расчетно графической работе. –: АУЭС,2012 - 19 с.
- 5 Guidelines for Design of Wind Turbines. 2nd Edition, 2002 – P. 286.
- 6 O. Ichinokura, T. Kikuchi, K. Nakamura, T. Watanabe, and H. J. Guo. Dynamic Simulation Model of Switched Reluctance Generator / IEEE Trans. Magn., Vol. 39, No. 5, 2003. –P. 3253-3255.
- 7 J. McCosker. Design and Optimization of a Small Wind Turbine./ Rensselaer Polytechnic Institute Hartford, Connecticut, 2012–. P. 56.
- 8 Bh. K. Ramasamy, A. Palaniappan, S. M. Yakoh. Direct-drive low-speed wind energy conversion system incorporating axial-type permanent magnet generator and Z-source inverter with sensorless maximum power point tracking controller. // IET Renewable Power Generation Received. 2013. Vol. 7, Iss. 3. – P. 284– 295.
- 9 Datta R., Ranganathan V.T. A method of tracking the peak power points for a variable speed wind energy conversion system / IEEE Trans. Energy Convers., - P.18.
- 10 Li H., Chen Z. Design optimization and site matching of direct-drive permanent magnet wind power generator systems / Renew. Energy, 34, 2009. –P. 1175– 1184.
- 11 Wang F., Zhang Y., Shen Y. Comparison of different structures for variable speed constant frequency wind power generator / ICEMS Int. Conf. Electrical Machines and Systems, October 2008. – P.17–20.
- 12 Drouilnet S., Muljadi E., Holz R., Gevorgian V. Optimizing Small Wind Turbine Performance in Battery Charging Applications / National Renewable Energy Laboratory (NRL), May 1995.P.306
- 13 Rodrigo F.M., Analysis of the Efficiency Improvement in Small Wind Turbines when Speed Is Controlled / Industrial Electronics, 2007. ISIE 2007. IEEE International Symposium on 4-7 June 2007. – P. 437 - 442.
- 14 Camblong H, and al. Principles of a simulation model for a variable speed pitch regulated wind turbine / Wind Eng. 28(2), 2004. –P.36-38
- 15 Е.В. Соломин, Обеспечение вибробезопасности вертикально-осевых ветроэнергетических установок-Челябинск,2009.- 136 с.

Болатбек Батыр

(аты-жөні)

5B071700 - Жылу энергетика мамандығы бойынша

(мамандығы)

Горизонталь өсті жел қондырығысын талдау

(дипломдық жобаның тақырыбы)

тақырыбындағы дипломдық жобасына

ҒЫЛЫМИ ЖЕТЕКШИҢ ПІКІРІ

Бұл дипломдық жұмыста желдің әртүрлі жылдамдықтарында жүктемесіз және жүктеме кезінде жел турбинасы жұмысының процестері қарастырылған. Жұмыстың мақсаты горизонталь осьті жел турбиналарын қолдану. Бұл жұмыстың негізгі бөлімінде тексерулік есептеулер жүргізілді. Жұмыста MATLAB аясында горизонталь өсті типті нақты төмен қуатты жел турбинаның имитациялық моделі ұсынылған.

Модель үш қалақшалы жел турбиналары үшін шекті болып саналатын және ауытқулар қарастырылмаған $K_{ev}=0,47$ және $Z=8,1$ жылдамдықты жел ағынын пайдаланудың максималды эмпирикалық коэффициенттерін қамтиды.

Ұсынылған дипломдық жұмыспен танысу және талқылану негізінде Satbayev University – нің «Жылуэнергетикасы» мамандығы бойынша түлегі Болатбек Батыр аталғыш мамандық бойынша «бакалавр» академиялық дәрежесін беруге лайық, ал дипломдық жұмысты жоғары бағалауға болады деп санаймын.

Ғылыми жетекші
«Энергетика» кафедрасының
қауымдастырылған профессоры, PhD



К.Б.Шакенов

қолы

«01» 05 2022 жыл

Ф КазНИТУ 706-17. Рецензия

Болатбек Батыр
(аты-жөні)

5B071700 - Жылу энергетика мамандығы бойынша
(мамандығы)

Горизонталь өсті жел кондырығысын талдау
(дипломдық жобаның тақырыбы)
тақырыбындагы дипломдық жобасына

СЫН – ПІКІР

Бұл дипломдық жұмыста желдің әртүрлі жылдамдықтарында жүктемесіз және жүктеме кезінде жел турбинасы жұмысының процестері карастырылған. Жұмыстың максаты горизонталь өсті жел турбиналарын колдану. Бұл жұмыстың негізгі болімінде тексеруулік есептеулер жүргізілді. Жұмыста MATLAB аясында горизонталь өсті типті накты төмен қуатты жел турбинаның имитациялық моделі ұсынылған.

Модель үш калакшалы жел турбиналары үшін шекті болып саналатын және ауыткулар карастырылмаған $K_{ev}=0,47$ және $Z=8,1$ жылдамдықты жел ағынын пайдаланудың максималды эмпирикалық коэффициенттерін камтиды.

Жоба бойынша ескерту:

Пайдалаған әдебиеттер тізімі бойынша жаңа мәліметтер пайдаланылуы керек. Оған карамастан жұмыс толыктай дайын. Мәліметтер жеткілікті.

Жұмысты бағалау

Ұсынылған дипломдық жұмыспен танысу және талқылану негізінде Satbayev University – нін «Жылуэнергетикасы» мамандығы бойынша түлегі Болатбек Батыр аталғыш мамандық бойынша «бакалавр» академиялық дәрежесін беруге лайық, ал дипломдық жұмысты жоғары бағалауға болады деп санаймын.

Пікір беруші
«Логистика және көлік академиясы»
«Энергетика» кафедрасының
Ассистент-профессоры, PhD

Ф КазНИТУ 706-17. Рецензия

ПОДПИСЬ ЗАВЕРЯЮ
18.05.2022
КОЛЫ
«18» 05 2022
Ф.И.О.



Протокол

о проверке на наличие неавторизованных заимствований (плагиата)

Автор: Болатбек Батыр Болатбекұлы

Соавтор (если имеется):

Тип работы: Дипломная работа

Название работы: Горизонталь есті жел қондырғысын талдау

Научный руководитель: Калижан Шакенов

Коэффициент Подобия 1: 13.6

Коэффициент Подобия 2: 8

Микропробелы: 0

Знаки из здругих алфавитов: 16

Интервалы: 0

Белые Знаки: 0

После проверки Отчета Подобия было сделано следующее заключение:

- Заемствования, выявленные в работе, является законным и не является плагиатом. Уровень подобия не превышает допустимого предела. Таким образом работа независима и принимается.
- Заемствование не является плагиатом, но превышено пороговое значение уровня подобия. Таким образом работа возвращается на доработку.
- Выявлены заимствования и плагиат или преднамеренные текстовые искажения (манипуляции), как предполагаемые попытки укрытия плагиата, которые делают работу противоречавшей требованиям приложения 5 приказа 595 МОН РК, закону об авторских и смежных правах РК, а также кодексу этики и процедурам. Таким образом работа не принимается.

Обоснование:

документ в засыпке

2022-05-18

Дата

Заведующий кафедрой

Серсекеев Е.А.



Протокол
о проверке на наличие неавторизованных заимствований (плагиата)

Автор: Болатбек Батыр Болатбекұлы

Соавтор (если имеется):

Тип работы: Дипломная работа

Название работы: Горизонталь осты жел кондыргысын талдау

Научный руководитель: Калижан Шакенов

Коэффициент Подобия 1: 13.6

Коэффициент Подобия 2: 8

Микропробелы: 0

Знаки из других алфавитов: 16

Интервалы: 0

Белые Знаки: 0

После проверки Отчета Подобия было сделано следующее заключение:

- Заимствования, выявленные в работе, является законным и не является плагиатом. Уровень подобия не превышает допустимого предела. Таким образом работа независима и принимается.
- Заимствование не является плагиатом, но превышено пороговое значение уровня подобия. Таким образом работа возвращается на доработку.
- Выявлены заимствования и плагиат или преднамеренные текстовые искажения (манипуляции), как предполагаемые попытки укрытия плагиата, которые делают работу противоречащей требованиям приложения 5 приказа 595 МОН РК, закону об авторских и смежных правах РК, а также кодексу этики и процедурам. Таким образом работа не принимается.

□ Обоснование:

2022-05-18



Нуржан Балгаев

проверяющий эксперт